

Este exemplo foi  
respondido a pedido da  
da Física defendida pelo  
Suhaila Maluf Shibli e aprovado  
pela comissão  
pela alumna  
Mauro Monteiro Garcia de Carvalho

"CARACTERIZAÇÃO ELETRICA DE CAMADAS EPITAXIAIS

DE  $In_{0,71}Ga_{0,29}As_{0,63}P_{0,37}$ "

SUHAILA MALUF SHIBLI

Orientador: Mauro Monteiro Garcia de Carvalho

Tese apresentada ao Instituto  
de Física "Gleb Wataghin" pa-  
ra obtenção do título de Mes-  
tre em Física.

Aos meus pais Talab e Anna

As minhas irmãs Si e Sá

**Ao meu amigo e companheiro**

**Antonio Carlos**

## A G R A D E C I M E N T O S

- Ao Prof. Mauro M. G. de Carvalho, pela orientação e apoio.
- Ao Antonio Carlos, por toda ajuda prestada tanto no laboratório durante as transferências de He quanto na parte computacional desta tese.
- Aos Profs. do Instituto de Física, que colaboraram na execução deste trabalho.
- Ao Lino, Márcia, Beny, Pedrinho e Laerte, pela ajuda prestada.
- À Maria José, Ayrton e Fernando, pelas medidas de fotoluminescência.
- Aos técnicos da Criogenia, pelo excelente trabalho que realizam.
- Aos meus amigos, que acompanharam-me nesta travessia.
- Ao CNPq e Telebrás, pelo suporte financeiro.

R E S U M O

A liga quaternária semicondutora InGaAsP vem sendo utilizada na fabricação de dispositivos optoeletrônicos, os quais requerem um alto grau de controle quanto às suas características. Para isto, é necessário determinar certos parâmetros deste material. Informações sobre o número e mobilidade dos portadores, energia do nível de impurezas e mecanismos de condução, entre outras, são obtidas medindo-se a resistividade e o efeito Hall em função da temperatura.

O presente trabalho consta de dois objetivos principais:

- a) Montagem e operação de equipamento para medidas de efeito Hall e resistividade em função da temperatura usando líquidos criogênicos.
- b) Análise dos resultados através de cálculos computacionais.

## A B S T R A C T

The quaternary alloy InGaAsP has been used in the fabrication of optoelectronic devices which require high degrees of control as far as their properties are concerned.

Thus, it becomes necessary to determine some of its characteristic parameters. Information about the number and mobility of carriers, impurity energy level and conduction mechanisms, among others, are yielded by resistivity and Hall Effect measurements as a function of temperature.

The present work has two main goals:

- a) Setting up and dealing with the proper experimental arrangements for such measurements using cryogenic liquids.
- b) Analysing experimental results using computational calculations.

I N D I C E

Introdução .....	1
CAPÍTULO I - Caracterização Elétrica de Semicondutores .... 3	
I.1 - Método de Caracterização Utilizado .....	3
I.2 - Fenômenos de Transporte de Cargas .....	4
I.2.1 - Equação de Boltzmann e Tempo de Relaxação .....	5
I.2.2 - Densidade de Corrente Elétrica .....	11
I.2.3 - Condutividade Elétrica e Mobilidade Eletrônica .	13
I.3 - Efeito Hall .....	15
I.4 - Concentração de Portadores em Função da Temperatura .....	19
I.4.1 - Semicondutores Dominados por Níveis de Impureza	21
CAPÍTULO II - Mecanismos de Espalhamento ..... 23	
II.1 - Introdução .....	23
II.2 - Teoria de Espalhamento .....	24
II.3 - Espalhamento por Impurezas Ionizadas .....	26
II.4 - Espalhamento por Fonons Acústicos .....	32
II.5 - Espalhamento por Fonons Ópticos Polares .....	34
II.6 - Espalhamento por Desordem no Potencial da Rede ..	37
II.6.1 - O Potencial Virtual .....	38
II.6.2 - Mobilidade Limitada por Desordem no Potencial da Rede .....	39
II.6.3 - Potencial de Desordem para Ligas Quaternárias .	42
II.6.4 - Intensidade do Potencial $\Delta U$ .....	44

CAPÍTULO III - Experimento .....	46
III.1 - Criostato e Sistema de Vácuo .....	46
III.2 - Suporte de Amostras .....	48
III.2.1 - As Amostras e Seus Contatos .....	51
III.3 - Conjunto de Equipamentos de Medida Utilizados .	52
III.4 - Procedimento Experimental .....	54
III.5 - Fontes de Erros Experimentais .....	56
 CAPÍTULO IV - Apresentação e Análise dos Resultados Experimentais .....	58
IV.1 - Estudo dos Parâmetros a serem utilizados .....	58
IV.2 - Resultados Experimentais .....	59
IV.3 - Método de Análise da Mobilidade .....	67
IV.4 - Resultados da Análise e Discussão .....	70
 CAPÍTULO V - Conclusões .....	77
 Apêndice I - INTEGRAL : Programa que calcula o nível de Fermi .....	78
Apêndice II - HALL : Programa que calcula $R_H$ , $\rho$ e $\mu_H$ com os dados obtidos experimentalmente .....	79
Apêndice III - FINAL : Programa que calcula as mobilidades teóricas .....	82
Apêndice IV - TEORIA : Programa que calcula $\Delta U$ .....	85
 Referências .....	89

## I N T R O D U Ç Ã O

Quando um semicondutor é submetido a um campo elétrico, os portadores livres (elétrons ou buracos) sofrem ação de uma força. A presença de imperfeições no cristal e o próprio movimento térmico dos ions que formam a rede limitam o movimento destes portadores. O resultado do movimento conjunto de todos os elétrons da banda de condução é o equivalente ao que teríamos se considerássemos que todos os elétrons tivessem um só movimento médio constante na direção do campo. Este será proporcional à intensidade do campo elétrico. Assim:

$$\vec{v} = \mu \vec{\xi}$$

A constante de proporcionalidade  $\mu$ , chamada mobilidade eletrônica, depende da temperatura e das propriedades intrínsecas do material, sendo invariante para pequenos campos elétricos.

No sentido esboçado acima, a mobilidade é uma medida dos efeitos das imperfeições do potencial cristalino sobre os portadores de carga. É, portanto, um bom indicador de qualidade do material analisado e o principal tema a ser desenvolvido neste trabalho. Além disso, calcularemos as densidades de impurezas ionizadas e o potencial de espalhamento por desordem na rede da liga  $In_{0,71}Ga_{0,29}As_{0,63}P_{0,37}$ , que é usada na região ativa do laser. Tais resultados são obtidos através de análises computacionais de dados experimentais coletados para temperatura entre 4,2 K e a temperatura ambiente.

No primeiro capítulo introduzimos a teoria de transporte de carga.

No segundo capítulo encontra-se a teoria dos mecanismos de espalhamento necessários para o estudo do InGaAsP.

No terceiro capítulo descrevemos detalhadamente o equipamento experimental e o método de medidas utilizado.

No quarto capítulo apresentamos os resultados experimentais e a análise feita em cima deles.

No quinto capítulo relatamos as conclusões finais do trabalho.

## CAPÍTULO I - CARACTERIZAÇÃO ELÉTRICA DE SEMICONDUTORES

Através da caracterização elétrica dos semicondutores obtemos informações valiosas para a fabricação de bons dispositivos, inclusive, sobre a possibilidade de certo material ser usado para tal fim.

A caracterização dos materiais têm estabelecido uma importante ligação entre o crescimento dos cristais e a produção de dispositivos. E, é esta a finalidade deste trabalho, fornecer dados a respeito do material analisado, para que haja um maior conhecimento do que está sendo feito e as prováveis mudanças para um aprimoramento dos resultados obtidos.

### I.1 - Método de Caracterização Utilizado

A escolha do método de caracterização<sup>1</sup> está, frequentemente, relacionada com a informação requerida e a natureza do material a ser analisado. Um outro fator importante, que influencia o método de caracterização, é o nível tecnológico do referido material. Entre os métodos de caracterização existentes, o de nosso maior interesse são as medidas de transporte. As distintas propriedades dos semicondutores são mais aparentes nas suas simples propriedades de transporte, portanto, mesmo com o alto nível alcançado pela física de semicondutores e a maturidade tecnológica desta classe de materiais, este continua a ser o método mais básico para se caracterizar semicondutores, isto porque, apresenta uma medida dos efeitos das imperfeições do potencial cristalino sobre os portadores de carga.

As imperfeições do potencial cristalino podem ser causadas por defeitos estruturais (vacâncias, dislocações, etc), defeitos químicos (impurezas neutras ou ionizadas), vibrações térmicas da rede (fonons ópticos e acústicos), ou ainda, no caso de ligas, pela aleatoriedade na distribuição dos materiais constituintes nos pontos da rede.

## I.2 - Fenômenos de Transporte de Cargas

Da larga variedade de fenômenos de transporte de cargas, os efeitos galvanomagnéticos têm provado ser os mais valiosos para a caracterização de semicondutores, entre eles os de maior interesse são os efeitos Hall<sup>2</sup> e de magnetoresistência e obviamente, a condutividade elétrica para o campo magnético nulo.

Através do coeficiente de Hall<sup>3</sup> ( $R_H$ ) podemos na maioria das vezes obter a densidade de portadores livres, que justamente nos dá uma indicação imediata do número de portadores de carga (elétrons ou buracos) no material estudado e do nível de dopagem desta amostra. Através destas duas grandezas podemos obter a mobilidade dos portadores ( $\mu$ ).

O estudo desses parâmetros em função da temperatura fornece outros dados importantes, tais como, a energia de ionização dos átomos de impureza da amostra e a caracterização dos mecanismos de espalhamento dos portadores com os distintos defeitos da rede cristalina. Se estes mecanismos de espalhamento de portadores podem ser descritos por um tempo de relaxação ( $\tau$ ), então a equação de transporte de Boltzmann pode ser solucionada dando expressões para os parâmetros de transporte em ter-

mos de massa efetiva ( $m^*$ ), tempo de relaxação, e densidade de portadores do material. É o que veremos a seguir.

### I.2.1 - Equação de Boltzmann e Tempo de Relaxação

No equilíbrio, a função de distribuição dos elétrons e dos buracos, em um sólido, é a função de Fermi -Dirac. Se aplicarmos um campo externo, esta função se modificará, mas o número de estados permitidos se conservará (Teorema de Liouville)<sup>4</sup>.

$$\frac{df}{dt} = 0 \quad (I-1)$$

sendo  $f$  a função de distribuição perturbada e  $t$  o tempo.

A alteração provocada pela introdução de um campo de forças externa, introduzirá modificações na função distribuição, de modo que esta se desenvolverá no tempo segundo:

$$\frac{df}{dt} (\vec{r}, \vec{k}, t) = \frac{\partial f}{\partial t} + \frac{\partial f}{\partial \vec{r}} \cdot \frac{d\vec{r}}{dt} + \frac{\partial f}{\partial \vec{k}} \cdot \frac{d\vec{k}}{dt} \quad (I-2)$$

onde  $\vec{r}$  e  $\vec{k}$  são os vetores posição e de onda, respectivamente.

Se  $\vec{F}_t$  é a força total que age sobre um portador de cargas, por conta das eqs. (I-1) e (I-2) podemos escrever:

$$\frac{\partial f}{\partial t} + \vec{v} \cdot \nabla_{\vec{r}} f + \frac{\vec{F}_t \cdot \nabla_{\vec{k}} f}{\hbar} = 0 \quad (I-3)$$

onde  $\vec{v}$  é a velocidade do portador de carga,  $\nabla_{\vec{r}}$  e  $\nabla_{\vec{k}}$  são, res-

pectivamente, os gradientes dos espaços  $\vec{r}$  e  $\vec{k}$ .

No nosso estudo consideraremos somente as forças externas independentes do tempo, ou seja, num regime estacionário,  $\partial f / \partial t = 0$ .

Agora, separaremos as contribuições das forças externas  $\vec{F}$  e internas  $\vec{F}_{int}$ , devido às colisões, e escreveremos (I+3) como:

$$\vec{v} \cdot \nabla_{\vec{r}} f + \frac{\vec{F}_k \nabla_{\vec{r}} f}{\hbar} + \frac{\vec{F}_{int}}{\hbar} \cdot \nabla_{\vec{k}} f = 0 \quad (I-4)$$

Escrivendo  $\frac{\partial f}{\partial t}$  de outra forma e usando (I-4), temos:

$$\left( \frac{\partial f}{\partial t} \right)_{campo\ externo} + \left( \frac{\partial f}{\partial t} \right)_{colisão} = 0 \quad (I-5)$$

com  $- \left( \frac{\partial f}{\partial t} \right)_{campo\ externo} = \vec{v} \cdot \nabla_{\vec{r}} f + \frac{\vec{F}}{\hbar} \cdot \nabla_{\vec{k}} f$

e  $- \left( \frac{\partial f}{\partial t} \right)_{colisão} = \frac{\vec{F}_{int}}{\hbar} \cdot \nabla_{\vec{k}} f$

A eq. (I-5) mostra que a ação dos campos externos é compensada pelas colisões. Esta é a equação de Boltzmann para o caso estacionário.

A consequência imediata da aplicação de um campo elétrico sobre um cristal, é que aparece uma densidade de corrente elétrica, dada por:

$$\vec{j} = \frac{e}{4\pi^3} \int \vec{v} \cdot f d^3 k \quad (I-6)$$

Para determinar  $\vec{J}$ , temos que conhecer  $f$  e por consequência, resolver a eq. (I-5). A solução para um campo qualquer é impossível analiticamente mas, para campo não muito forte, podemos escrever:

$$f(\vec{r}, \vec{k}) = f_0(\vec{r}, \vec{k}) + f_1(\vec{r}, \vec{k}) \quad (I-7)$$

onde  $f_0$  é a função de distribuição no equilíbrio e  $f_1$  é a perturbação de primeira ordem.

Por outro lado, supomos que, uma vez que o campo externo seja cessado, a função  $f$  tenderá a  $f_0$  de forma exponencial, ou seja

$$f(\vec{r}, \vec{k}, t) - f_0(\vec{r}, \vec{k}) = \{f(\vec{r}, \vec{k}, 0) - f_0(\vec{r}, \vec{k})\} \exp(-t/\tau)$$

ou então:

$$\left( \frac{\partial f}{\partial t} \right)_{\text{colisão}} = - \frac{f - f_0}{\tau} \quad (I-8)$$

onde  $\tau$ , conhecido como tempo de relaxação, é a grandeza que indica à que velocidade o estado de equilíbrio, perturbado por campos externos, se reestabelece quando cessa a causa da perturbação. A expressão (I-8) é dada como a aproximação do tempo de relaxação.

Se considerarmos que o tempo de relaxação não varia com o campo externo, de (I-4), (I-5), (I-7) e (I-8) obtemos:

$$\vec{v} \cdot \nabla_{\vec{r}} f_0 + \vec{v} \cdot \nabla_{\vec{r}} f_1 + \frac{1}{\hbar} \vec{F} \cdot (\nabla_{\vec{k}} f_0 + \nabla_{\vec{k}} f_1) = - \frac{f_1}{\tau} \quad (I-9)$$

5  
mas

$$\nabla_{\vec{r}} f_0 = - \frac{\partial f_0}{\partial E} \cdot \left\{ \nabla_{\vec{r}} F' + (E - F) \cdot \frac{\nabla_{\vec{r}} T}{T} \right\}$$

e

$$\nabla_{\vec{k}} f_0 = \frac{\partial f_0}{\partial E} \cdot \nabla_{\vec{k}} E = \frac{\partial f_0}{\partial E} \cdot \hbar \vec{v}$$

onde  $E$  é a energia e  $F'$  é a energia do nível de Fermi.

Estudaremos agora o caso de um material homogêneo num campo externo uniforme ( $\nabla_{\vec{r}} F' = 0$ ) e que se encontra em uma mesma temperatura ( $\nabla T = 0$ ). Neste caso, a eq.(I-9) será escrita:

$$\vec{v} \cdot \nabla_{\vec{r}} f_1 + \frac{\vec{F}}{\hbar} \cdot \left( \frac{\partial f_0}{\partial E} \hbar \vec{v} + \nabla_{\vec{k}} f_1 \right) = - \frac{f_1}{\tau} \quad (I-10)$$

Consideraremos, agora, que o campo externo é da forma da força de Lorentz, ou seja,  $\vec{F} = e(\vec{\xi} + \vec{v} \times \vec{B})$  onde  $\vec{\xi}$  é o campo elétrico e  $\vec{B}$  o campo magnético aplicado,  $\vec{v}$  é a velocidade do portador de carga. Faremos, primeiramente, duas hipóteses para encontrar  $f_1$ :

1º) Os campos não são muito fortes de maneira que:

$$\nabla_{\vec{r}} f \approx \nabla_{\vec{r}} f_0 \quad , \text{isto implica em}$$

$$\nabla_{\vec{r}} f_1 \approx 0$$

2º) O campo elétrico tem que ser fraco para manter válido a lei de Ohm ( $\vec{J} \approx \vec{\xi}$ ). Consequentemente, os termos de ordem superior à  $\vec{\xi}$  serão desprezados.

Se desprezarmos o termo  $\nabla_{\vec{k}} f_1$  em (I-10) teremos uma solução para  $f_1$  da forma:

$$f_1 \approx \vec{\xi} \cdot \vec{v} \frac{\partial f_0}{\partial E}$$

que é independente de  $\vec{B}$ , em uma aproximação bastante grosseira.

Entretanto, tentaremos usar uma solução da mesma forma mas que não despreze o termo  $\nabla_{\vec{k}} f_1$ , ou seja,

$$f_1 = - \vec{\chi}(\vec{k}, \vec{r}) \cdot \vec{v} \frac{\partial f_0}{\partial E} \quad (I-11)$$

onde  $\vec{\chi}(\vec{k}, \vec{r})$  é uma função vetorial a ser determinada.

Se substituirmos a eq. (I-11) em (I-10) por conta das hipóteses feitas, teremos:

$$e \vec{\xi} \cdot \vec{v} - \frac{e}{\hbar^2} (\vec{v} \times \vec{B}) (\vec{\chi} \cdot \nabla_{\vec{k}}) \cdot \nabla_{\vec{k}} E = \frac{\vec{\chi} \cdot \vec{v}}{\tau}$$

$$e \vec{\xi} \cdot \vec{v} + \frac{e}{\hbar^2} \{ (\vec{\chi} \cdot \nabla_{\vec{k}}) \cdot \nabla_{\vec{k}} E \times \vec{B} \} \cdot \vec{v} = \frac{\vec{\chi} \cdot \vec{v}}{\tau}$$

$$\vec{\chi} = e \tau \left[ \frac{1}{\hbar^2} \{ (\vec{\chi} \cdot \nabla_{\vec{k}}) \cdot \nabla_{\vec{k}} E \times \vec{B} \} + \vec{\xi} \right] \quad (I-12)$$

No caso de uma banda parabólica de simetria esférica, podemos escrever:<sup>6</sup>

$$v_i = \frac{1}{\hbar} \frac{\partial E}{\partial k_i} = \frac{1}{\hbar k_i} \frac{dE}{dk_i} k_i = \frac{\hbar k_i}{m^*}$$

onde  $m^*$  é a massa efetiva.

De (I-12) tiramos que:

$$\vec{x} = \frac{\tau e}{m^*} (\vec{x} \times \vec{B}) + \tau e \vec{\xi} \quad (I-13)$$

Para calcular  $\vec{x}$ , faremos:

$$\frac{\tau e}{m^*} \vec{x} \times \vec{B} = \frac{\tau^2 e^2}{m^{*2}} (\vec{x} \times \vec{B}) \times \vec{B} + \frac{\tau^2 e^2}{m^*} \vec{\xi} \times \vec{B}$$

$$\mu(\vec{x} \times \vec{B}) = \mu^2 \{ (\vec{x} \times \vec{B}) \cdot \vec{B} - B^2 \vec{x} \} + \tau e \mu \vec{\xi} \times \vec{B} \quad (I-14)$$

onde  $\mu = \frac{|\vec{v}|}{|\vec{\xi}|} = \frac{|\vec{a}| \tau}{|\vec{\xi}|} = \frac{e \vec{B} \tau}{m^* |\vec{\xi}|} = \frac{e \tau}{m^*}$  é a mobilidade eletrônica e a aceleração.

De (I-13), temos as expressões:

$$\mu(\vec{x} \times \vec{B}) = \vec{x} - \tau e \vec{\xi} \quad \text{e}$$

$$\vec{x} \cdot \vec{B} = \mu(\vec{x} \times \vec{B}) \cdot \vec{B} + \tau e \vec{\xi} \cdot \vec{B} = \tau e \vec{\xi} \cdot \vec{B}$$

A eq. (I-14) será escrita:

$$\vec{x} - \tau e \vec{\xi} = \mu^2 \{ \tau e (\vec{\xi} \cdot \vec{B}) \vec{B} - B^2 \vec{x} \} + \tau e \mu \vec{\xi} \times \vec{B}$$

$$\vec{x}(1 + \mu^2 B^2) = \tau e \{ \mu^2 (\vec{\xi} \cdot \vec{B}) \vec{B} + \mu \vec{\xi} \times \vec{B} + \vec{\xi} \}$$

$$\vec{x} = \frac{\tau e \{ \mu^2 (\vec{\xi} \cdot \vec{B}) \vec{B} + \mu (\vec{\xi} \times \vec{B}) + \vec{\xi} \}}{1 + \mu^2 B^2} \quad (I-15)$$

Quando  $\vec{\xi}$  é paralelo a  $\vec{B}$ , caso longitudinal, a eq. (I-15) fica  $\vec{x} = \tau e \vec{\xi}$ , que é independente de  $\vec{B}$ . Isto é o mesmo que dizer que o campo magnético longitudinal não altera em

nada os parâmetros de transporte para o caso de uma massa efetiva parabólica esférica.

Para  $\vec{\xi}$  perpendicular a  $\vec{B}$ , caso transversal, teremos:

$$\vec{\chi} = \frac{\tau e \{ \mu (\vec{\xi} \times \vec{B}) + \vec{\xi} \}}{1 + \mu^2 B^2} \quad (I-16)$$

que depende de  $\vec{B}$ . Isto significa que um campo transversal altera os parâmetros de transporte.

Substituindo as eqs. (I-11) e (I-16) em (I-7), teremos que:

$$f(\vec{r}, \vec{k}) = f_0(\vec{r}, \vec{k}) + f_1(\vec{r}, \vec{k})$$

$$\text{onde } f_1(\vec{r}, \vec{k}) = - \frac{\partial f_0}{\partial E} \cdot \frac{e \tau \vec{\xi} \cdot \vec{v} + \frac{e^2 \tau^2}{m^*} (\vec{\xi} \times \vec{B}) \cdot \vec{v}}{1 + \frac{e^2 \tau^2}{m^*} B^2} \quad (I-17)$$

### I.2.2 - Densidade de Corrente Elétrica

Faremos, agora, considerações à respeito da densidade de corrente elétrica, dada por:

$$\vec{J} = \frac{e}{4\pi^3} \int_{\text{col.}} \vec{v} \cdot \vec{f} d^3 k = \frac{e}{4\pi^3} \{ \int_{\vec{v}} \vec{f}_0 d^3 k + \int_{\vec{v}} \vec{f}_1 d^3 k \}$$

Teremos que  $\int_{\vec{v}} \vec{f}_0 d^3 k = 0$ , porque em equilíbrio

o termodinâmico não existe corrente elétrica,

Assim,

$$\vec{J} = \frac{e}{4\pi^3} \int \vec{v} \cdot \vec{f}_1 d^3 k \quad (I-18)$$

tendo em conta as eqs. (I-11) e (I-17), a eq. (I-18), torna-se:

$$\vec{J} = - \frac{e}{4\pi^3} \int \vec{v} \frac{\partial f_0}{\partial E} \left\{ \frac{e\tau \vec{\xi} \cdot \vec{v}}{1 + \frac{e^2 \tau^2}{m^*} B^2} + \frac{\frac{e^2 \tau^2}{m^*} (\vec{\xi} \times \vec{B}) \cdot \vec{v}}{1 + \frac{e^2 \tau^2}{m^*} B^2} \right\} d^3 k$$

Que pode ser escrito na forma:

$$\vec{J} = - \frac{e}{4\pi^3} \int \frac{\partial f_0}{\partial E} \left\{ \frac{e\tau \vec{\xi}}{1 + \mu^2 B^2} + \frac{\frac{e^2 \tau^2}{m^*} \vec{\xi} \times \vec{B}}{1 + \mu^2 B^2} \right\} v^2 d^3 k$$

ou

$$\vec{J} = - \frac{e^2}{4\pi^3} \int \frac{\partial f_0}{\partial E} \frac{\tau v^2 \vec{\xi}}{1 + \mu^2 B^2} d^3 k - \frac{e^3}{4\pi^3} \int \frac{\partial f_0}{\partial E} \frac{v^2 \left( \frac{\tau^2}{m^*} \right) \vec{\xi} \times \vec{B}}{1 + \mu^2 B^2} d^3 k \quad (I-19)$$

Para simplificar a notação introduziremos, os coeficientes cinéticos:

$$K_{rs}^{ij} = - \frac{1}{4\pi^3} \int \frac{\xi^{r-1} \tau^s}{1 + \mu^2 B^2} \frac{\partial f_0}{\partial E} v_i v_j d^3 k \quad (I-20)$$

Pode ser mostrado que  $K_{rs}^{ij} = 0$  se  $i \neq j$ . Portanto, denotaremos  $K_{rs}^{ij}$  por  $K_{rs}$  sendo intrínseco que  $i = j$ . Assim, de acordo com (I-19) a densidade de corrente pode ser expressa por:

$$\vec{J} = e^2 \vec{\xi} K_{11} + \frac{e^3}{m^*} \vec{\xi} \times \vec{B} K_{12} \quad (I-21)$$

### I.2.3 - Condutividade Elétrica e Mobilidade Eletrônica

Para encontrarmos a condutividade elétrica de um semicondutor é necessário estabelecermos uma relação entre o campo elétrico aplicado e a densidade de corrente obtida. Fazendo  $\vec{B} = 0$  na eq. (I-21), teremos que:

$$\vec{J} = \sigma \vec{\xi} = e^2 \kappa_{11} \vec{\xi} \quad (I-22)$$

onde  $\sigma = e^2 \kappa_{11}$  é a condutividade elétrica.

O coeficiente cinético  $\kappa_{11}$  pode ser relacionado com a densidade de portadores, através de:

$$\kappa_{11} = \frac{n \langle \tau \rangle}{m^*} \quad (I-23)$$

onde  $\langle \tau \rangle$  é o valor médio do tempo de relaxação entre todos os elétrons participantes da corrente elétrica. Assim:

$$\sigma = e n \frac{e \langle \tau \rangle}{m^*} = en \mu_D \quad (I-24)$$

onde  $\mu_D$  é a mobilidade média dos elétrons.

Como a resistividade  $\rho$  é o inverso da condutividade, temos:

$$\mu_D = \frac{1}{\rho en} \quad (I-25)$$

A condutividade e a mobilidade dos portadores são determinados pela média do tempo de relaxação que é feita

na ausência do campo magnético de forma que, para material não-degenerado e que obedece a estatística de Boltzmann, teremos:

$$\langle \tau \rangle = \frac{\int_0^\infty x^{3/2} e^{-x} \tau(x) dx}{\int_0^\infty x^{3/2} e^{-x} dx} \quad (I-26)$$

onde  $x = \frac{E}{k_B T}$  e  $k_B$  a constante de Boltzmann

Se o tempo de relaxação é uma função potência da energia,  $\tau(x) = \tau_0 x^p$ , então a eq. (I-26), para um material não-degenerado, pode ser escrita:

$$\langle \tau \rangle = \tau_0 \frac{\Gamma(5/2 + p)}{\Gamma(5/2)} \quad (I-27)$$

Na tabela 1 encontramos os valores de  $\langle \tau \rangle / \tau_0$  para diferentes valores de  $p$ , relativos aos mecanismos de esparlhamento mais comumente encontrados.

TABELA 1:

$p$	$1/2$	$3/2$	$-1/2$
$\frac{\langle \tau \rangle}{\tau_0}$	$\frac{8}{3\sqrt{\pi}}$	$\frac{8}{\sqrt{\pi}}$	$\frac{4}{3\sqrt{\pi}}$

Para um semicondutor degenerado, temos que:

$$\langle \tau \rangle = \tau(F') \quad , \text{ onde } F' \text{ é a energia de Fermi.}$$

Isto significa que a mobilidade média dos elétrons não depende do tempo de relaxação dos elétrons ou dos buracos se estes esti-

verem nos estados vizinhos da superfície de Fermi . Isto porque, em um semicondutor degenerado só participam do transporte de cargas os elétrons cujas energias estão compreendidas no intervalo  $F' \pm k_B T$  . Com efeito,  $f_1$  da eq.(I-17) será nulo para  $E \neq F'$ , sendo que a transição dos elétrons entre os níveis de energia é impossível, pois eles estão ocupados. Mas quando a temperatura é elevada, os elétrons próximos à superfície de Fermi influenciam na concentração dos elétrons do semicondutor, portanto o número de portadores de cargas ativos deve ser proporcional ao número total dos elétrons, assim temos que:

$$\sigma = en\mu(F) = \frac{e^2 \tau(F) n}{m^*}$$

onde  $n$  é o número total de elétrons.

### I.3 - Efeito Hall

Se aplicarmos um campo elétrico  $\vec{\xi} = (\xi_x, \xi_y, \xi_z)$  e um campo magnético  $\vec{B} = (0, B_y, 0)$  a um semicondutor homogêneo com temperatura  $T$  constante e densidade de corrente  $\vec{J} = (J_x, 0, 0)$  poderemos escrever, baseados na eq.(I-21). que:

$$J_x = e^2 \xi_x K_{11} - \frac{e^3}{m^*} K_{12} \xi_z B \quad (I-28)$$

$$J_y = e^2 \xi_y K_{11} = 0 \rightarrow \xi_y = 0 \quad (I-29)$$

$$J_z = e^2 \xi_z K_{11} + \frac{e^3}{m^*} K_{12} \xi_x B = 0 \quad (I-30)$$

De (I-30) temos que :

$$\xi_z = - \frac{e}{m^*} \frac{\kappa_{12}}{\kappa_{11}} B \xi_x = - \mu_H B \xi_x \quad (I-31)$$

onde  $\mu_H$  é a mobilidade de Hall.

A componente  $\xi_z$  representa o efeito Hall, ou ainda,  $\xi_z$  é o campo de Hall. Para exprimirmos  $J_x$  em função de  $E_x$  substituimos (I-31) em (I-28) :

$$J_x = e^2 \kappa_{11} \xi_x (1 + \frac{e^2}{m^* 2} \frac{\kappa_{12}^2}{\kappa_{11}^2} B^2 \xi_x) = \sigma_B \xi_x \quad (I-32)$$

onde

$$\sigma_B = e^2 \kappa_{11} + \frac{e^4}{m^* 2} \frac{\kappa_{12}^2}{\kappa_{11}^2} B^2 = e^2 \kappa_{11} (1 + \mu_H^2 B^2) \quad (I-33)$$

é a condutividade elétrica na direção do campo  $\xi_x$  devido a aplicação de um campo magnético.

Se aplicarmos uma corrente na direção  $x$ , do semicondutor já citado, e um campo magnético na direção  $y$  aparecerá um campo elétrico na direção  $z$ . A expressão, para campos fracos,

$$R_H = - \frac{\xi_z}{J_x B} \quad (I-34)$$

é praticamente independente dos campos externos aplicados e  $R_H$  é a constante de Hall. Das expressões anteriores tiramos que:

$$|R_H| = \frac{\mu_H}{\sigma_B} = \frac{\frac{e}{m^*} (\kappa_{12}/\kappa_{11})}{e^2 \kappa_{11} (1 + \frac{e^2}{m^* 2} \frac{\kappa_{12}^2}{\kappa_{11}^2} B^2)} \quad (I-35)$$

Usando as expressões de  $K_{11}$  e  $K_{12}$ , no limite de campos magnéticos fracos, deduzidas na referência (5):

$$K_{11} = \frac{n}{m^*} \langle \tau \rangle , \quad K_{12} = \frac{n}{m^*} \langle \tau^2 \rangle$$

temos

$$R_H = \frac{1}{en} \frac{\langle \tau^2 \rangle}{\langle \tau \rangle^2} \quad (I-36)$$

de modo que  $R_H$  é uma medida da concentração de elétrons na banda de condução do material estudado. O fator  $\langle \tau^2 \rangle / \langle \tau \rangle^2$  depende do mecanismo de espalhamento atuante e se o tempo de relaxação é uma função potência da energia, como já visto, temos que:

$$\frac{\langle \tau^2 \rangle}{\langle \tau \rangle^2} = \frac{\Gamma(5/2)}{\Gamma(5/2 + p)^2} \quad (I-37)$$

Na tabela 2 encontramos os principais mecanismos de espalhamento para semicondutores que obedecem a estatística de Boltzmann.

TABELA 2:

$p$	$1/2$	$2/2$	$-1/2$
$\frac{\langle \tau^2 \rangle}{\langle \tau \rangle}$	1,13	1,93	1,18

De (I-31) tiramos que:

$$\mu_H = \frac{e}{m^*} \frac{\langle \tau^2 \rangle}{\langle \tau \rangle} \quad (I-38)$$

Usando as eqs. (I-24) e (I-38) chegamos a uma relação entre a mobilidade de Hall e a mobilidade média dos elétrons, que é dado por:

$$\mu_H = \frac{\langle \tau^2 \rangle}{2} \mu_D = r_H \mu_D \quad (I-39)$$

Analizando a eq. (I-35) para campos magnéticos fortes<sup>8</sup>, teremos que a eq. (I-36) fica:

$$R_H = \frac{1}{en}$$

Para chegarmos a este resultado usamos a equação (I-20) em (I-35) e consideramos o campo não suficiente para fazer aparecer os subníveis de Landau.

Para semicondutores degenerados:

$$r_H = \frac{\langle \tau^2 \rangle}{\langle \tau \rangle^2} = \frac{\tau^2 (F)}{\{\tau(F)\}^2} = 1 \quad (I-40)$$

então,  $\mu_H = \mu_D$

$$e R_H = \frac{1}{en}$$

#### I.4 - Concentração de Portadores em Função da Temperatura

A probabilidade de que um estado de energia  $E$ , esteja ocupado por um elétron a uma determinada temperatura  $T$  é dada pela função distribuição de Fermi-Dirac.<sup>4</sup>

$$f(E) = \frac{1}{1 + \exp \left( \frac{E - F'}{k_B T} \right)} \quad (I-41)$$

onde  $F'$  é a energia de Fermi e  $k_B$  a constante de Boltzmann.

Quando estados são distribuídos em limites permitidos de energia, teremos a densidade de estados  $g(E)$  por unidade de um intervalo de energia para qualquer energia, que na banda de condução será dada por<sup>4</sup>:

$$g(E) = 4\pi \left( \frac{2m^*/h^2}{3/2} \right)^{3/2} (E - E_C)^{1/2}, \quad E \geq E_C \quad (I-42)$$

onde  $m^*$  é a massa efetiva de densidade de estados para elétrons e  $E_C$  é a energia da banda de condução.

Conhecida a probabilidade de ocupação dos estados na banda de condução, isto é,  $f(E)$ , e a densidade de estados disponíveis nessa banda,  $g(E)$ , podemos calcular a densidade de elétrons,  $n$ , através da integral:

$$\begin{aligned} n &= \int_{E_C}^{\infty} f(E) g(E) dE \\ &= \int_{E_C}^{\infty} \frac{4\pi \left( \frac{2m^*/h^2}{3/2} \right)^{3/2} (E - E_C)^{1/2}}{1 + \exp \left( \frac{E - F'}{k_B T} \right)} dE \end{aligned} \quad (I-43)$$

Para o estudo desta integral será conveniente a dotarmos uma notação adimensional, como o conjunto:

$$\varepsilon = \left( \frac{E - E_C}{k_B T} \right) \quad F = \left( \frac{F' - E_C}{k_B T} \right)$$

Simplificaremos esta discussão, escolhendo  $E_C$  como a origem da energia. Portanto, a eq.(I-43) ficará:

$$n = 4\pi \left( \frac{2m^* k_B T}{h^2} \right)^{3/2} \int_0^\infty \frac{\varepsilon^{1/2}}{1 + \exp(\varepsilon - F)} d\varepsilon \quad (I-44)$$

$$= N_C F_{1/2}(F) \xrightarrow{\frac{E_C - F'}{k_B T} \gg 1} N_C e^{-(E-F')/k_B T}$$

$$\text{onde } N_C = 4\pi \left( \frac{2m^* k_B T}{h^2} \right)^{3/2} \quad (I-45)$$

é a chamada densidade equivalente de estados na banda de condução, e  $F_{1/2}(F)$  denota a integral,

$$F_{1/2}(F) = \int_0^\infty \frac{\varepsilon^{1/2}}{1 + \exp(\varepsilon - F)} d\varepsilon$$

Esta expressão é um dos mais importantes membros do conjunto de funções,

$$F_j(F) = \frac{1}{\Gamma(j+1)} \int_0^\infty \frac{\varepsilon^j}{1 + \exp(\varepsilon - F)} d\varepsilon$$

que são chamadas de integrais de Fermi-Dirac e estão tabeladas.  
(ver, por exemplo, Fistul<sup>9</sup>).

#### I.4.1 - SEMICONDUTORES DOMINADOS POR NÍVEIS DE IMPUREZA

Consideremos um semicondutor dopado, não degenerado, parcialmente compensado. Seja  $N_D$  a densidade de doadores e  $N_A$  a densidade de aceitadores, presentes no semicondutor. Seja, ainda,  $N_D > N_A$  (material de tipo n).

A densidade de doadores ionizados ( $N_{Di}$ ), é expressa por:

$$N_{Di} \approx n + N_A = N_D \left[ 1 + g^{-1} \exp \left( \frac{E_D + F' - E_C}{k_B T} \right) \right]^{-1} \quad (I-46)$$

onde  $g$  é o fator de degenerescência do spin do nível doador.

Assim, a razão entre a densidade de doadores ionizados e a densidade de doadores neutros,  $N_{Dn} = N_D - N_{Di}$ , é dada por:

$$\frac{N_{Di}}{N_{Dn}} = g \exp \left( \frac{-E_D - F' + E_C}{k_B T} \right) \quad (I-47)$$

ou, ainda poderemos escrever na forma:

$$\frac{(n + N_A)}{(N_D - N_A - n)} = g^{-1} \exp \left( \frac{-E_D - F' + E_C}{k_B T} \right) \quad (I-48)$$

Usando a eq. (I-47), teremos que (I-48) se torna:

$$\frac{n(n + N_A)}{(N_D - N_A - n)} = g^{-1} N_C \exp\left(\frac{-E_D}{k_B T}\right) \quad (I-49)$$

10  
Para baixas temperaturas podemos assumir

$N_A \gg n$  e  $(N_D - N_A) \gg n$ , teremos:

$$\frac{n N_A}{(N_D - N_A)} = \frac{N_C}{g} \exp\left(\frac{-E_D}{k_B T}\right)$$

$$n = \frac{(N_D - N_A)}{N_A} \frac{N_C}{g} \exp\left(\frac{-E_D}{k_B T}\right)$$

que é uma relação do tipo:

$$n = A T^{3/2} \exp\left(\frac{-E_D}{k_B T}\right) \quad (I-50)$$

## CAPÍTULO II - MECANISMOS DE ESPALHAMENTO

### II.1 - INTRODUÇÃO

Uma das principais razões para o grande interesse que há em se conhecer a mobilidade dos portadores em um cristal é que, através de um estudo da dependência entre a mobilidade e a temperatura, podemos obter valiosas informações à respeito dos mecanismos de espalhamento.

Se admitirmos a validade da Regra de Matthiesen, ou seja, que os mecanismos de espalhamento são mutuamente independentes, conseguiremos ajustar teoricamente a curva experimental da mobilidade em função da temperatura. Então, a mobilidade total poderá ser obtida na aproximação do tempo de relaxação, a partir da soma aritmética dos inversos das mobilidades devidas a cada mecanismo de espalhamento conhecido e passível de ser atribuído ao material a ser estudado

$$\mu_T^{-1} = \sum_i (\mu_i^{-1}) \quad (II-1)$$

Este procedimento, baseado na aproximação do tempo de relaxação, tem sido usado com sucesso em quase todos os tipos de semicondutores, inclusive para mecanismos de espalhamentos inelásticos, caso do espalhamento por fonons ópticos, por exemplo. Nos materiais puros a mobilidade é calculada mais frequentemente a partir de mecanismos de espalhamentos, tais como, os por deformação acústica e óptica, por impurezas neutras e ionizadas e outros.

Quando o material estudado é uma liga, ou seja, uma solução sólida de dois ou mais materiais, um tipo suplementar de espalhamento deve ser levado em consideração.

Tal espalhamento ocorre por desordem do potencial da rede.

Estudaremos, separadamente, cada um dos mecanismos de espalhamento citados acima.

## II.2 - TEORIA DE ESPALHAMENTO

No capítulo anterior, dissemos que há uma dependência entre a energia e o tempo de relaxação , ou seja,  $\tau \propto E^p$ , sendo p uma constante. Esta dependência entre  $\tau$  e E será discutida neste capítulo para alguns importantes mecanismos de espalhamento. Para isto faremos a priori, um levantamento de certas particularidades da teoria de espalhamento que nos serão úteis no desenrolar do capítulo.

A secção de choque de um centro espalhador ( $\sigma_s$ ), por exemplo, está relacionado com o tempo de relaxação ( $\tau$ ), através da expressão :

$$\frac{1}{\tau} = N \sigma_s v^{10} \quad (II-2)$$

onde N é a densidade volumétrica do centro espalhador.

v é a velocidade da partícula espalhada.

A secção de choque é obtida através da secção de choque diferencial  $\sigma_s(\theta)$ , por integração sobre o ângulo só-

lido;  $\theta$  é o ângulo de desvio da partícula de sua direção original do movimento. Depois da colisão a mudança na componente da velocidade na direção anterior ao choque é:

$$\frac{v - v \cos \theta}{v} = 1 - \cos \theta \quad (\text{II-3})$$

Assim, a secção de choque responsável pela transferência de momento será:

$$\sigma_s = 2\pi \int_0^{\pi} \sigma_s(\theta) (1 - \cos \theta) \sin \theta d\theta \quad (\text{II-4})$$

com isto, a eq. (II-2) fica:

$$\frac{1}{\tau} = N v 2\pi \int_0^{\pi} \sigma_s(\theta) (1 - \cos \theta) \sin \theta d\theta \quad (\text{II-5})$$

O mecanismo de espalhamento pode ser considerado como uma pequena perturbação da função de onda dos elétrons por um potencial  $P(\vec{r})$ , que induz uma transição dos elétrons entre um estado inicial e final. Através da teoria de perturbação teremos a probabilidade de transição do estado  $\vec{k}$  para o estado  $\vec{k}'$  por unidade de tempo (regra de Ouro nº 2 de Fermi)<sup>11</sup>:

$$S(\vec{k}, \vec{k}') = \frac{2\pi}{\hbar} |H_{\vec{k}', \vec{k}}|^2 \delta\{E(\vec{k}') - E(\vec{k})\} \quad (\text{II-6})$$

onde  $H_{\vec{k}', \vec{k}}$  é o elemento de matriz do potencial espalhador entre os estados  $\vec{k}$  e  $\vec{k}'$  e a função delta de Dirac satisfaaz a conservação de energia. Sendo  $E = \frac{\hbar^2 k^2}{2m^*}$  e usando as eqs. (II-2) e (II-6), teremos :

$$\sigma_s(\theta) = \left\{ \frac{(m^* V)}{2\pi\hbar^2} \right\} |H_{\vec{K},\vec{K}'}|^2 \quad (\text{II-7})$$

onde  $V$  é o volume do cristal. Com isto, vemos que conhecendo  $H_{\vec{K},\vec{K}'}$ , podemos calcular a seção total de choque (II-4) e o tempo de relaxação para o mecanismo de espalhamento em questão.

### III.3 - ESPALHAMENTO POR IMPUREZAS IONIZADAS

A teoria de espalhamento por impurezas ionizadas foi discutida por Conwell - Weisskopf<sup>12</sup>, Brooks - Herring<sup>13</sup> e Dingle<sup>14</sup>. O primeiro considerou o espalhamento de Rutherford de cada íon independentemente e os outros dois utilizaram o potencial coulombiano blindado, ou seja, o potencial de Yukawa, para realizar o estudo deste tipo de espalhamento.

Utilizando a eq. (I-18) e substituindo  $\vec{v} = \frac{\hbar\vec{K}}{m^*}$ , teremos que:

$$\vec{J} = \frac{e\hbar}{4\pi^3 m^*} \int \vec{K} f_1 d^3 K \quad (\text{II-8})$$

Tomando o valor de  $f_1$  da eq. (I-17), para  $\vec{B}=0$ , e substituindo em (II-8),

$$\vec{J} = \frac{e^2 \hbar^2 \xi}{4\pi^3 m^*} \int r K^2 \cos \theta \left( -\frac{\partial f_0}{\partial E} \right) d^3 K \quad (\text{II-9})$$

Sabemos que

$$\frac{\partial f_0}{\partial E} = \frac{m^*}{\hbar^2 K} \frac{\partial f_0}{\partial K} \quad (\text{II-10})$$

Portanto, (II-9) fica:

$$\vec{J} = \frac{e^2 \xi}{4\pi^3 m^*} \int \tau(K) \cos \theta \frac{\partial f_0}{\partial K} d^3 K \quad (\text{II-11})$$

Como  $d^3 K = K^2 \sin \theta d\theta d\gamma dK$ , a eq.(II-10) torna-se:

$$\vec{J} = \frac{e^2 \xi}{3\pi^2 m^*} \int_0^\infty K^3 \tau(K) \frac{\partial f_0}{\partial K} dK \quad (\text{II-12})$$

Usando a relação (I-22) teremos que a condutividade elétrica, é dada por:

$$\sigma = \frac{e^2}{3\pi^2 m^*} \int_0^\infty K^3 \tau(K) \frac{\partial f_0}{\partial K} dK \quad (\text{II-13})$$

Substituindo a eq.(II-10) em (II-13) e sabendo que  $K = \frac{(2m^*E)^{1/2}}{\hbar}$  e fazendo  $\varepsilon = \frac{E}{k_B T}$ , teremos:

$$\sigma = \frac{16 \sqrt{2} \pi e^2 m^{*1/2} (k_B T)^{3/2}}{3h^3} \int_0^\infty \varepsilon^{3/2} \tau \frac{\partial f_0}{\partial \varepsilon} d\varepsilon \quad (\text{II-14})$$

sendo  $\frac{\partial f_0}{\partial \varepsilon} = \frac{\exp(\varepsilon - F)}{\{\exp(\varepsilon - F) + 1\}^2}$ , teremos:

$$\sigma = \frac{16 \sqrt{2} \pi e^2 m^{*1/2} (k_B T)^{3/2}}{3h^3} \int_0^\infty \frac{\tau \varepsilon^{3/2} \exp(\varepsilon - F)}{\{\exp(\varepsilon - F) + 1\}^2} d\varepsilon \quad (\text{II-15})$$

Para determinarmos  $\sigma$ , precisamos da relação entre  $\tau$  e  $\epsilon$ . Para isto, usamos a aproximação de Born para calcular o elemento de matriz de uma transição, induzida pelo potencial coulombiano blindado, conhecido como potencial de Yukawa, dado por:

$$\phi = \frac{e}{K_s r} e^{-r/L} \quad (II-16)$$

onde  $K_s$  é a constante dielétrica estática.

Substituindo este elemento de matriz em (II-7) obtemos:<sup>15</sup>

$$\sigma_s(\theta) = \left\{ \frac{e^2 / K_s}{m^* v^2 (1 - \cos \theta) + v^2} \right\}^2, \quad v^2 = \frac{h^2}{8\pi^2 m^* L^2} \quad (II-17)$$

que substituído em (II-5) nos dará a expressão do tempo de relaxação para este tipo de espalhamento, que é:

$$\frac{1}{\tau_{II}} = N_i v 2\pi \left\{ \frac{e^2}{K_s 2 \epsilon k_B T} \right\}^2 g(b) \quad (II-18)$$

onde  $N_i$  é a concentração de impurezas ionizadas e

$$g(b) = \ln(1 + b) - \frac{b}{b + 1} \quad (II-19)$$

$$\text{sendo } b = \frac{32 \pi^2 m^* E L^2}{h^2} = \frac{32 \pi^2 m^* k_B T \epsilon L^2}{h^2}$$

Para calcularmos o campo próximo de um centro de impurezas ionizadas e determinarmos o comprimento da blindagem  $L$  da eq. (II-16) será necessário solucionar a e

equação de Poisson,

$$\nabla^2(\phi) = -\frac{4\pi e}{K_s} (n_0 - n) \quad (\text{II-20})$$

onde  $n_0$  é a concentração de elétrons na rede não perturbada e  $n$  a concentração de elétrons na rede perturbada.

Se  $G(F) = n_0$  e  $G(F + \phi) = n$ , expandindo-se até a primeira ordem em  $\phi$ , tem-se  $G(F+\phi) = G(F) + \phi G'(F)$ . Vimos no Cap.I que:

$$G(F) = \frac{4\pi (2m^* k_B T)^{3/2}}{h^3} \int_0^\infty \frac{\epsilon^{1/2} d\epsilon}{\exp(\epsilon - F) + 1} = \frac{4\pi (2m^* k_B T)^{3/2}}{h^3} F^{1/2}$$

$$G'(F) = \frac{4\pi (2m^* k_B T)^{3/2}}{h^3} F^{1/2} \frac{e}{k_B T}$$

então, de (II-16) e (II-20) vem:

$$\nabla^2(\phi) = \frac{4\pi e}{K_s} \phi G'(F) = \frac{\phi}{L^2}$$

A solução de Poisson será igual à eq. (II-16)

com

$$\frac{1}{L^2} = \frac{16\pi^2 e^2 (2m^*)^{3/2} (k_B T)^{1/2}}{K_s h^3} F^{1/2} \quad (\text{II-21})$$

Sabemos que a relação geral para as integrais de Fermi, é dado por:

$$F_j^1(F) = F_{j-1}(F)$$

Teremos então, que (II-21) será:

$$\frac{1}{L^2} = \frac{16 \pi^2 e^2 (2m^*)^{3/2} (k_B T)^{1/2}}{K_s h^3} F_{-1/2} \quad (\text{II-22})$$

Para o cálculo da mobilidade usaremos a relação (I-24)

$$\mu = \frac{\sigma}{n \cdot e}$$

Substituindo (II-15) e (I-44) em (I-24), este ficará da seguinte forma:

$$\mu_D = \frac{2 e^2}{3 m^* F_{1/2}} \frac{\int_0^\infty \epsilon^{3/2} \exp(\epsilon - F) d\epsilon}{\{ \exp(\epsilon - F) + 1 \}^2} \quad (\text{II-23})$$

que é a expressão geral para a mobilidade por espalhamento de impurezas ionizadas.

A validade das aproximações discutidas acima estão ligadas à aproximação de Born utilizada. Nesta aproximação<sup>16</sup> admite-se que o fator b da eq. (II-19) é

$$b \gg 1$$

(II-24)

Fazendo um estudo da eq. (II-19), levando em conta esta condição citada acima, vemos que  $\theta(b)$  tem uma variação lenta, o que nos possibilita considerar que esta função é uma constante, tirando-a assim da integral da eq. (II-23). Usando a eq. (II-18) a mobilidade em (II-23) fica

$$\mu_{II} = \frac{4(m^*)^{-1/2} k_s^2 (k_B T)^{3/2}}{3\sqrt{2}\pi e^3 N_A F_{1/2} g(\bar{b})} \int_0^\infty \frac{\epsilon^3 \exp(\epsilon - F)}{(\exp(\epsilon - F) + 1)^2} d\epsilon$$

onde  $\bar{b} = \frac{32\pi^2 m^* k_B T L^2}{h^2}$

sendo  $\bar{\epsilon}$  o valor da energia  $\epsilon$  que torna o integrando de (II-23) máximo.

## II.4 - ESPALHAMENTO POR FONONS ACÚSTICOS

Quando uma onda acústica se propaga em uma rede cristalina, os átomos vibram em torno de suas posições de equilíbrio. Representaremos estas vibrações por ondas longitudinais e transversais. Uma vibração longitudinal através de um cristal dá origem a regiões alternadas de compressão e expansão da rede cristalina. Isto altera as bandas de energia de tal maneira que a largura da banda proibida sofre uma modulação que pode ser aproximada por degraus como na FIG. II-1.

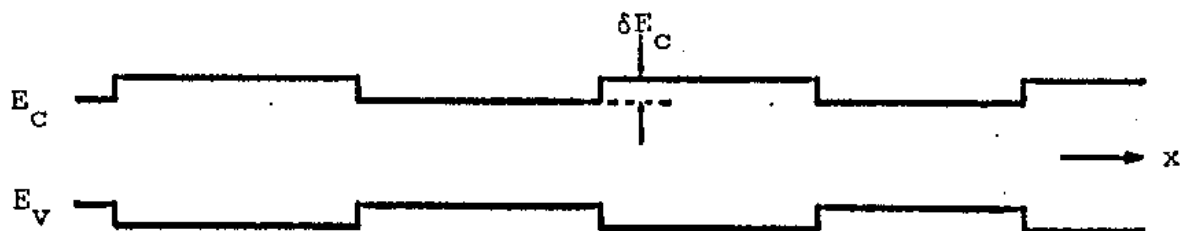


Fig.II-1: Esquema da variação das energias das bandas de condução e valência em um semicondutor, produzida por forças de compressão e expansão associadas a uma vibração longitudinal.

A quantidade  $\delta E_C$  pode-se relacionar com a deformação de compressão ou expansão  $\delta V/V_0$ , a uma primeira aproximação, mediante uma relação linear da forma<sup>17</sup>:

$$-\delta E_C = E_{1c} \left( \frac{\delta V}{V_0} \right) \quad (\text{II-25})$$

onde  $E_{1c}$  é um fator de proporcionalidade, conhecido como

"constante do potencial de deformação", que representa o campo na borda da banda de condução por unidade de deformação ou de dilatação, como foi mostrado no teorema do potencial de deformação de Bardeen.<sup>18</sup>

O elemento de matriz que descreve este tipo de espalhamento, é dado por:

$$|H_{K'K}|^2 = \frac{E_{1c}^2 k_B T}{2V \rho u_z} \quad (II-26)$$

onde  $\rho$  é a densidade de massa do material.

$u_z$  é a velocidade do som

$E_{1c}$  é o potencial de deformação

$V$  é o volume do cristal

Substituindo (II-26) em (II-7) e este último em (II-5) teremos o tempo de relaxação, que nos fornecerá:

$$\frac{1}{\tau_{PA}} = \frac{\sqrt{2}}{\pi \hbar^4} \frac{(m^*)^{3/2}}{\rho u_z^2} \frac{E_{1c}^2}{2} \frac{(k_B T)^{3/2}}{\epsilon^{1/2}} \quad (II-27)$$

Substituindo a eq. (II-27), na expressão da mobilidade e usando (I-26), teremos que:

$$\mu = \frac{2}{3} \frac{e}{m^*} \int_0^\infty \tau_{PA} \epsilon^{3/2} \frac{\partial f_0}{\partial \epsilon} d\epsilon \quad (II-28)$$

Assim, a mobilidade limitada pelo espalhamento de fonons acústicos será<sup>19</sup>:

$$\mu_{PA} = \frac{2}{3} \frac{(2\pi)^{1/2}}{(m^*)^{5/2}} \frac{e \hbar^4}{E_{1c}^2} \frac{\rho u_z^2}{(k_B T)^{3/2}} \quad (II-29)$$

## II.5 → ESPALHAMENTO POR FONONS ÓPTICOS POLARES

Até agora, lidamos com processos de espalhamento elástico, cuja transferência de energia do elétron para o íon fixo na rede, durante uma colisão, é certamente pequena devido à grande diferença entre suas massas.

No caso de espalhamento por fonons ópticos, onde há colisões entre partículas, elétrons e fonons, as transferências de energia são grandes havendo, assim, a possibilidade de alteração no número de fonons, portanto estes processos tem de ser tratados como processos inelásticos.

O espalhamento óptico polar é conhecido como a interação, em semicondutores polares, entre os portadores de corrente e o modo óptico de vibrações da rede, ou seja, os fonons ópticos polares.

O elemento de matriz que descreve esta interação, conforme foi estudado por Frölich e Mott<sup>20</sup> e revisto por Ehrenreich<sup>21</sup>, é composto por dois termos, a saber:

$$H_{\vec{K}, \vec{K}+\vec{q}} = \frac{e e^*}{V K_0} \left( \frac{\hbar}{Z M N \omega} \right)^{1/2} \vec{\sigma}_q \cdot \vec{q} (n_q + 1)^{1/2} \quad (II-30)$$

que expressa o elemento de matriz de transição quando o resultado da interação é a criação de um fonon. Quando ocorre a destruição de um fonon, temos:

$$H_{\vec{K}, \vec{K}-\vec{q}} = \frac{e e^*}{V K_0} \left( \frac{\hbar}{Z M N \omega} \right)^{1/2} \vec{\sigma}_q \cdot \vec{q} (n_q)^{1/2} \quad (II-31)$$

onde  $N$  e  $V$  são, respectivamente, o número e o volume de cada célula unitária do cristal

$n_q$  é a população de fonons no estado cujo momento é  $\vec{h}q$  que corresponde a uma energia  $\hbar\omega$  e cujo vetor unitário de polarização é  $\vec{\sigma}_q$

$M$  é a massa reduzida dos íons de cada célula unitária

$\omega$  é a frequência do modo óptico longitudinal

$\vec{q}$  é o vetor de onda do fonon

$e^*$  é a carga efetiva dos íons e é dada por:<sup>22</sup>

$$e^* = \left\{ M V K_0 \omega^2 \left( \frac{K_s - K_d}{K_s K_d} \right) \right\}^{1/2}$$

sendo  $K_s$  e  $K_d$ , respectivamente, as constantes dielétricas estática e de alta frequência.

Para processos inelásticos não é possível fazermos a aproximação de  $f(\vec{k} \pm \vec{q})$  para  $f(\vec{k})$  e com isto, usar a eq. (I-8) para definirmos o tempo de relaxação<sup>10</sup>. Esta dificuldade pode ser contornada se usarmos o método variacional de Howarth e Sondheimer<sup>23</sup>, que produz para a mobilidade limitada por fonons ópticos polares a expressão:

$$\mu_{PO} = \frac{16 \hbar K_0 (2 \pi k_B T)^{1/2}}{(3 e m^*/m_0 \omega)^{3/2}} \frac{K_s K_d}{K_s - K_d} \left\{ \exp\left(\frac{\theta}{T}\right) - 1 \right\} G\left(\frac{\theta}{T}\right) \quad (II-32)$$

onde  $\theta$  é a temperatura do fonon óptico, conhecida como "temperatura de Debye para fonons ópticos" e

$$\frac{\theta}{T} = \frac{\hbar \omega}{k_B T}$$

$G\left(\frac{\theta}{T}\right)$  é uma função que leva em conta o efeito de blindagem dos portadores.

As expressões para  $G(\frac{\theta}{T})$  para temperaturas baixas e altas são:

$$G\left(\frac{\theta}{T}\right) = 1 \quad \text{quando} \quad \frac{\theta}{T} \ll 1$$

$$G\left(\frac{\theta}{T}\right) = \frac{3}{8} \left(\pi \cdot \frac{\theta}{T}\right)^{1/2} \quad \text{quando} \quad \frac{\theta}{T} \gg 1$$

## II. 6 - ESPALHAMENTO POR DESORDEM NO POTENCIAL DA REDE

Nas ligações cristalinas, embora a rede essencialmente não se altere, não se conhece com precisão a vizinhança de um átomo, isto é, dado um átomo fixo em um determinado ponto da rede, não se pode saber que tipo de átomos, entre os possíveis formam a sua vizinhança. Pode-se falar, apenas, na probabilidade de se encontrar um átomo de certo tipo em um dado ponto da rede. Por isso, associando a cada tipo de átomo um potencial, existe na rede uma certa desordem de potencial em cada ponto do cristal.

Existem basicamente dois problemas em estabelecer um modelo teórico para o espalhamento por desordem do potencial na rede. O primeiro se refere à questão de se encontrar uma maneira de se medir a quantidade de desordem presente, isto é, o grau de aleatoriedade na distribuição dos diferentes tipos de átomos pelos pontos da rede. O segundo problema é selecionar dentre os teoricamente possíveis, o potencial de espalhamento ou interação resultante da desordem compatível com os resultados experimentais disponíveis.

Para solucionar o primeiro problema Flinn<sup>26</sup> demonstrou que não é obrigatório a completa aleatoriedade na distribuição dos átomos numa liga, pois certas características dos materiais constituintes do composto podem originar um arranjo energético favorável ao estabelecimento de uma ordem local.

A introdução de um artifício, a aproximação do cristal virtual, resolve satisfatoriamente o segundo problema introduzindo como ônus um novo tipo de espalhamento, falaremos disto a seguir.

### III.6.1 ~ O POTENCIAL VIRTUAL

Imaginemos uma rede ocupada por dois átomos, A e B, cujas distribuições pelos pontos da rede sejam aleatórias. Associemos os potenciais  $U_A$  e  $U_B$  aos átomos dos tipos A e B, respectivamente. Então, o potencial total do cristal será<sup>27</sup>

$$U(\vec{r}) = \sum_A U_A(\vec{r} - \vec{y}) + \sum_B U_B(\vec{r} - \vec{y}) \quad (\text{III-33})$$

onde  $\vec{y}$  é qualquer vetor da rede de Bravais.

O potencial  $U(\vec{r})$  pode ser colocado sob uma forma mais prática, separando-o em duas partes, uma periódica, que é dada por:

$$U_1(\vec{r}) = \sum_y \{C_A U_A(\vec{r} - \vec{y}) + C_B U_B(\vec{r} - \vec{y})\} \quad (\text{III-34})$$

( $C_i$  é a concentração relativa do átomo  $i$ , com  $i = A, B$ ) que é o potencial do cristal virtual de Mott<sup>28</sup>. A outra é a parte desordenada, que dê conta da diferença entre o potencial real e o potencial virtual:

$$U_2(\vec{r}) = U(\vec{r}) - U_1(\vec{r}) = \sum_y C_y \Delta U(\vec{r} - \vec{y}) \quad (\text{III-35})$$

onde  $\Delta U(\vec{r}) = U_A(\vec{r}) - U_B(\vec{r})$ .

A função  $C_y$  foi introduzida por Flinn em sua discussão sobre ordem local em compostos desordenados e, é de-

finida nos pontos da rede por;

$$c_y^{\rightarrow} = \begin{cases} C_B & \text{para um átomo do tipo A em } \vec{y}. \\ -C_A & \text{para um átomo do tipo B em } \vec{y}. \end{cases}$$

tendo as seguintes propriedades:

$$\sum_y c_y^{\rightarrow} = 0$$

$$\sum_y c_y^{\rightarrow}, c_{y'+\vec{y}}^{\rightarrow} = N c_A c_B$$

O potencial  $U_1$  é o potencial periódico e define o potencial de Bloch para o cristal. O potencial  $U_2$  é o responsável pelo espalhamento.

#### II.6.2 - MOBILIDADE LIMITADA POR DESORDEM NO POTENCIAL DA REDE

Um elétron trafegando de uma região normal para uma região de substituição encontra uma diferença de potencial, sofrendo portanto uma transição. Mott<sup>28</sup> demonstrou que o espalhamento resultante é similar ao de um feixe de elétrons espalhados por um potencial da forma

$$\Delta U = \begin{cases} E_0 - E'_0 & \text{para } r < r_0 \\ 0 & \text{para } r > r_0 \end{cases}$$

sendo que  $r_0$ , o alcance do potencial, será definido posteriormente.

Usando-se a aproximação de Born para calcular o elemento de matriz de uma transição entre o estado  $\vec{K}$  e o estado  $\vec{K}'$ , induzida por um potencial de intensidade  $E$  e extensão  $r_0$ , obtem-se:

$$H_{\vec{K}\vec{K}'}^{\leftrightarrow} = \int_{-\infty}^{\infty} \exp(i \Delta \vec{K} \cdot \vec{r}) \Delta U d^3 r$$

$$\text{com } \Delta \vec{K} = \vec{K} - \vec{K}' \quad \text{e}$$

$$d^3 r = r^2 dr \sin \theta d\theta d\Psi$$

Devido à simetria azimutal, a integração sobre  $\Psi$  resulta em um fator  $2\pi$ . Tomando  $\theta$  como o ângulo entre  $\Delta \vec{K}$  e  $\vec{K}'$ , tem-se:

$$H_{\vec{K}\vec{K}'}^{\leftrightarrow} = 4\pi \frac{\Delta E}{(\Delta K)}^3 \{ \sin(\Delta K r_0) - \Delta K r_0 \cos(\Delta K r_0) \}$$

Expandindo sen x e cos x em série, teremos

$$H_{\vec{K}\vec{K}'}^{\leftrightarrow} = 4\pi \Delta E r_0^3 \left( \frac{1}{3} - \frac{1}{30} K^2 r_0^2 + \dots \right)$$

Desprezamos, sem problemas, o segundo termo entre parênteses por ser pequeno em comparação a  $1/3$ . Adotaremos que o valor de  $r_0$  é a distância entre os primeiros vizinhos numa configuração tetraédrica, ou seja,  $r_0 = \frac{\sqrt{3}}{4} a$ , onde  $a$  é o parâmetro de rede. Com isto, o quadrado do elemento de matriz fica

$$|H_{\vec{K}\vec{K}'}^{\leftrightarrow}|^2 = \frac{3\pi^2 C_A (1 - C_A) (\Delta E)^2}{16 N}$$

Substituindo este valor em (II-7) encontramos  $\sigma_s(\theta)$  que utilizado em (II-5) nos dará o tempo de relaxação para este tipo de espalhamento:

$$\tau_A = \frac{8 \hbar^4 N \epsilon^{-1/2}}{3\sqrt{2} \pi C_A (1 - C_A) (\Delta E)^2 m^{*3/2} (k_B T)^{1/2}}$$

onde  $N$  é o número de centros espalhadores por unidade de volume e  $C_A (1 - C_A) (\Delta E)^2 = (\Delta U)^2$

Na estrutura de III-V,  $N = 4/\Omega$ , por célula unitária. Portanto,

$$\tau_A = \frac{32 \hbar^4 \epsilon^{-1/2}}{3\sqrt{2}\pi (\Delta U)^2 m^{*3/2} (k_B T)^{1/2} \Omega}$$

onde  $\Omega = a^3/4$  é o volume da célula unitária.

Utilizando a estatística de Fermi-Dirac, como foi feito na secção (II-3), tiramos o valor médio do tempo de relaxação. Portanto, a expressão da mobilidade é dada por:

$$\mu_A = \frac{2}{3} \frac{e}{m^{*}} \frac{1}{F_{1/2}} \int_0^\infty \frac{\tau_A \epsilon^{3/2} \exp(\epsilon - F) d\epsilon}{\{\exp(\epsilon - F) + 1\}^2} \quad (II-36)$$

### II.6.3 - POTENCIAL DE DESORDEM PARA LIGAS QUATERNÁRIAS

Para uma liga quaternária III-V, o potencial do cristal virtual para as subredes do grupo III e V são, respectivamente<sup>29</sup> :

$$U_{III} = (1-x) U_A + x U_B$$

$$U_V = (1-y) U_C + y U_D$$

para uma liga  $A_{1-x}B_xC_{1-y}D_y$ .

Se os átomos A e B estão distribuídos pelos pontos da rede cúbica de faces centradas destinada aos elementos do grupo III, e os átomos C e D estão distribuídos pela outra subrede, a taxa de espalhamento devida às flutuações de potencial nas duas subredes é proporcional ao elemento de matriz e às probabilidades  $(1-x)$ ,  $x$ ,  $(1-y)$  e  $y$  de ocorrência dos elementos A, B, C e D, respectivamente no cristal. O elemento de matriz que representa a transição de um estado para outro é dado por:

$$|M_i|^2 = \left| \int \Psi^* \Delta U_i \Psi d\bar{r} \right|^2 \quad \text{onde}$$

$$\Delta U_i = U_{III} - U_i \quad \text{para } i = A \text{ ou } B$$

$$\Delta U_i = U_V - U_i \quad \text{para } i = C \text{ ou } D$$

Logo, a taxa de espalhamento total ou tempo de relaxação, é dada por:

$$\frac{1}{\tau} = x(1-x) |M_{III}|^2 + y(1-y) |M_V|^2$$

$$\text{com } |\mathbf{M}_{\text{III}}|^2 = \left| \int \Psi^* (\mathbf{U}_A - \mathbf{U}_B) \Psi d\vec{r} \right|^2$$

$$|\mathbf{M}_V|^2 = \left| \int \Psi^* (\mathbf{U}_C - \mathbf{U}_D) \Psi d\vec{r} \right|^2$$

Se  $\mathbf{U}_A - \mathbf{U}_B$  é vista como a variação do potencial na subrede do grupo III com o átomo do grupo V fixo, então:

$$\mathbf{U}_A - \mathbf{U}_B = (1 - y) (\mathbf{U}_{BC} - \mathbf{U}_{AC}) + y (\mathbf{U}_{BD} - \mathbf{U}_{AD})$$

$$\mathbf{U}_C - \mathbf{U}_D = (1 - x) (\mathbf{U}_{BD} - \mathbf{U}_{BC}) + x (\mathbf{U}_{AD} - \mathbf{U}_{AC})$$

onde  $\mathbf{U}_{AC}$  é o potencial referente ao composto AC, e assim por diante. Deste modo, calculando segundo o modelo que mostramos chega-se a:

$$|\Delta U|^2 = x(1-x)y^2 |\Delta U_{ABD}|^2 + x(1-x)(1-y)^2 |\Delta U_{ABC}|^2 + \\ y(1-y)x^2 |\Delta U_{BCD}|^2 + y(1-y)(1-x)^2 |\Delta U_{ACD}|^2$$

(II-37)

com  $\Delta U_{ABC}$  sendo o potencial do composto  $A_{1-x}B_xC$ .

Deste modo tendo os valores de  $\Delta U$  para os ternários pode-se obter os valores para os quaternários.

## II.6.4 - INTENSIDADE DO POTENCIAL $\Delta U$

Uma decisão precisa ser tomada sobre a altura do potencial de espalhamento, para que se possa ter uma estimativa razoavelmente precisa da importância relativa do espalhamento por desordem na rede, como fator limitante da mobilidade dos portadores nas ligas desordenadas. Este é o ponto confuso da teoria, as hipóteses levantadas até hoje não são suficientemente justificáveis e, nem estão confiavelmente confirmadas experimentalmente.

Brooks<sup>13</sup> sugere que  $\Delta U$  seja a diferença entre as larguras das bandas proibidas dos compostos puros. Este ponto de vista pode explicar alguns resultados experimentais<sup>46</sup>.

Harrison e Hauser<sup>47</sup> adotam para  $\Delta U$  a diferença entre as eletroafinidades dos compostos puros; esta parece ser a interpretação correta do potencial de Mott e, por razões de consistência interna do modelo, deveria ser a altura do potencial adotada.

A tendência mais recente é deslocar os estudos em direção à eletronegatividades, conforme a reformulação deste conceito feita por Phillips<sup>48</sup>.

Sem decisão teórica, o procedimento habitual é obter o valor de  $\Delta U$  através de análise dos dados da mobilidade. Esta análise é complexa, e trata com parâmetros não completamente conhecidos e, que por vezes, tem papel sensível

nos cálculos. Assim, a confirmação de uma hipótese teórica qualquer, através de resultados experimentais é difícil.

Entretanto, utilizando a equação (II-37), podemos calcular  $\Delta U$  segundo cada uma das teorias. Denominando  $\Delta U_{EG}$ ,  $\Delta U_{EA}$  e  $\Delta U_{EN}$  do potencial de espalhamento como sendo, respectivamente, a diferença entre a largura da banda proibida, a diferença entre eletroafinidade e a diferença entre eletronegatividade, e usando os valores  $x = 0,29$  e  $y = 0,63$  temos:

$$\Delta U_{EG} = 0,52 \text{ eV}$$

$$\Delta U_{EA} = 0,39 \text{ eV}$$

$$\Delta U_{EN} = 0,37 \text{ eV}$$

Como se pode observar, diferença entre eletroafinidade e eletronegatividade dão valores aproximadamente iguais para  $\Delta U$ . Diferença entre a largura da banda proibida dá um valor diferente e substancialmente maior. Resultados experimentais certamente não podem distinguir, neste caso, entre teorias que relacionam  $\Delta U$  com a eletroafinidade ou eletronegatividade.

## CAPÍTULO III - EXPERIMENTO

### III.1 - Criostato e Sistema de Vácuo

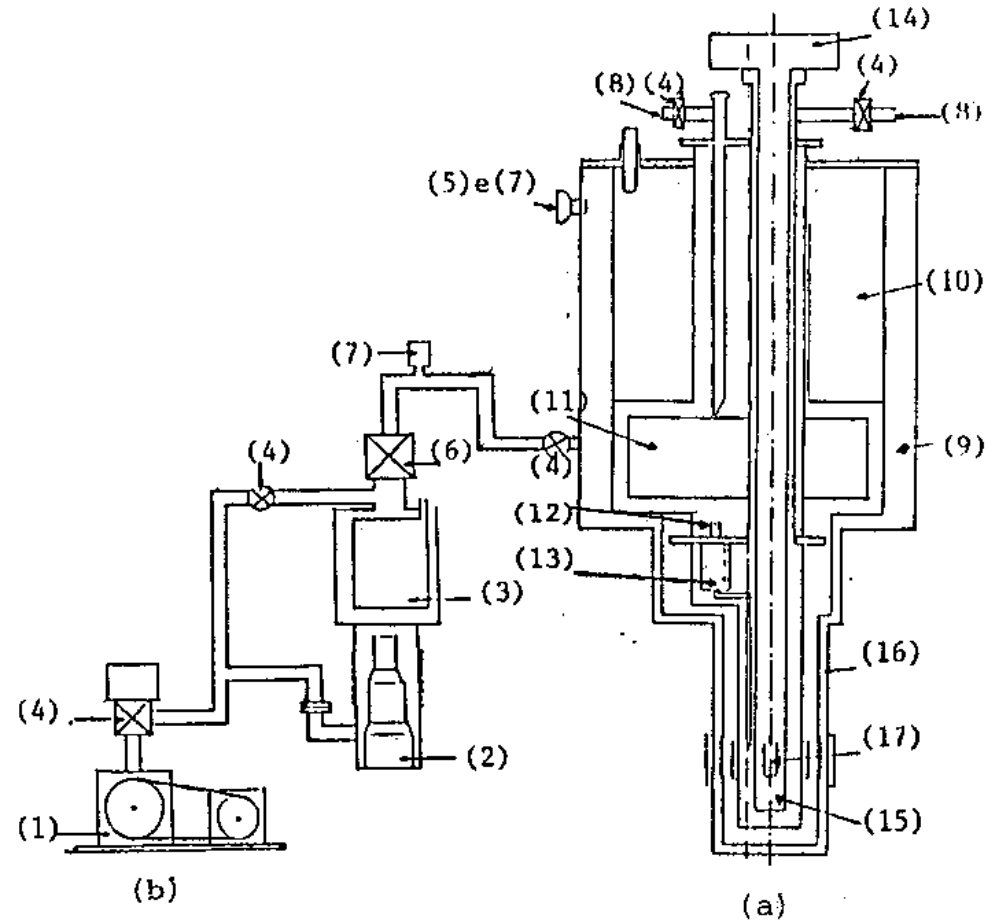
Usamos para a experiência um criostato de aço inoxidável da "AIR LIQUIDE", que pode operar no intervalo 1,5K - 300K (fig. III-1-a). Este consta de quatro câmaras, uma de nitrogênio líquido ( $\text{LN}_2$ ), uma de hélio líquido (LHe), uma para a amostra e as de isolamento. As câmaras de isolamento estão conectadas constantemente a um sistema de vácuo através de tubos flexíveis. A câmara de  $\text{LN}_2$  pré-esfria a câmara de LHe e a câmara para a amostra, através de trocadores de calor de alumínio. A câmara de amostra é ligada à câmara de LHe através de um tubo capilar de aço inoxidável.

O gás que se quer colocar para esfriar a amostra passa por uma resistência de aquecimento de aproximadamente  $45\ \Omega$ , neste local, encontra-se, também, um diodo GaAs que usamos como sensor de temperatura. A resistência de aquecimento tem a função de controlar a temperatura do fluxo de gás.

O sistema de vácuo usado para a isolamento das câmaras aparece na Fig. III-1-b. É constituído basicamente de uma bomba mecânica primária que atinge pressão de  $10^{-3}$  torr e uma bomba de difusão de óleo, constantemente refrigerada por uma corrente de água à temperatura ambiente, que atinge pressão de  $10^{-6}$  torr; acima da bomba difusora fica a armadilha de  $\text{LN}_2$  que separa o sistema de vácuo do sistema a ser bombeado.

Tanto a câmara de amostra como a câmara de hélio estão ligadas ao sistema de recuperação de hélio.

Na saída da câmara de hélio para o circuito de



- (1) Bomba Primária
- (2) Bomba de Difusão
- (3) Armadilha Fria
- (4) Válvula Manual
- (5) Medidor de Vácuo (Veeco)
- (6) Válvula Borboleta
- (7) Medidor de Alto-Vácuo
- (8) Saída para Recuperação
- (9) Vácuo de Isolamento

- (10) Câmara de  $\text{LN}_2$
- (11) Câmara de LHe
- (12) Giclé
- (13) Aquecedor de gás
- (14) Suporte de Amostras
- (15) Câmara de Amostras
- (16) Blindagem
- (17) Amostra

FIG. III - 1 - (a) Criostato      (b) Sistema de Vácuo

recuperação (Fig.III-2) existe um manômetro, cuja pressão máxima durante as medidas foi de  $1,5 \text{ Kg/cm}^2$ . Esta pressão é usada para controlar o fluxo de saída de hélio gaseoso, controlando assim a pressão exercida sobre o reservatório de LHe. Com isto estabelecemos um fluxo de LHe para a câmara de amostra.

A bomba de vácuo, selada para He, foi instalada prevendo-se a hipótese de se querer diminuir ainda mais a pressão sobre o LHe, fazendo com que a temperatura desça para menos do que 4,2 K. Em nossas medidas isto não foi feito.

Os medidores de pressão usados foram da Veeco para pressão de  $10^{-3}$  torr e da Leybold-Heraeus para pressão de  $10^{-6}$  torr.

### III.2 - Suporte de Amostras

Na fig.(III-3) temos o esquema do suporte de amostras utilizado.

Em A' temos uma visão mais detalhada de A, onde encontra-se a amostra e um sensor de temperatura do tipo C.L.T.S (Cryogenic Linear Temperature Sensor).

A parte A do suporte de amostras está ligada a fios de cobre envernizados que passam pelo tubo de inox B e estão soldados nos conectores tipo BNC's (C), onde são conectados os cabos coaxiais dos aparelhos de medição.

O sensor de temperatura C.L.T.S. é formado por uma grade de níquel e alumínio montada sobre um suporte i-

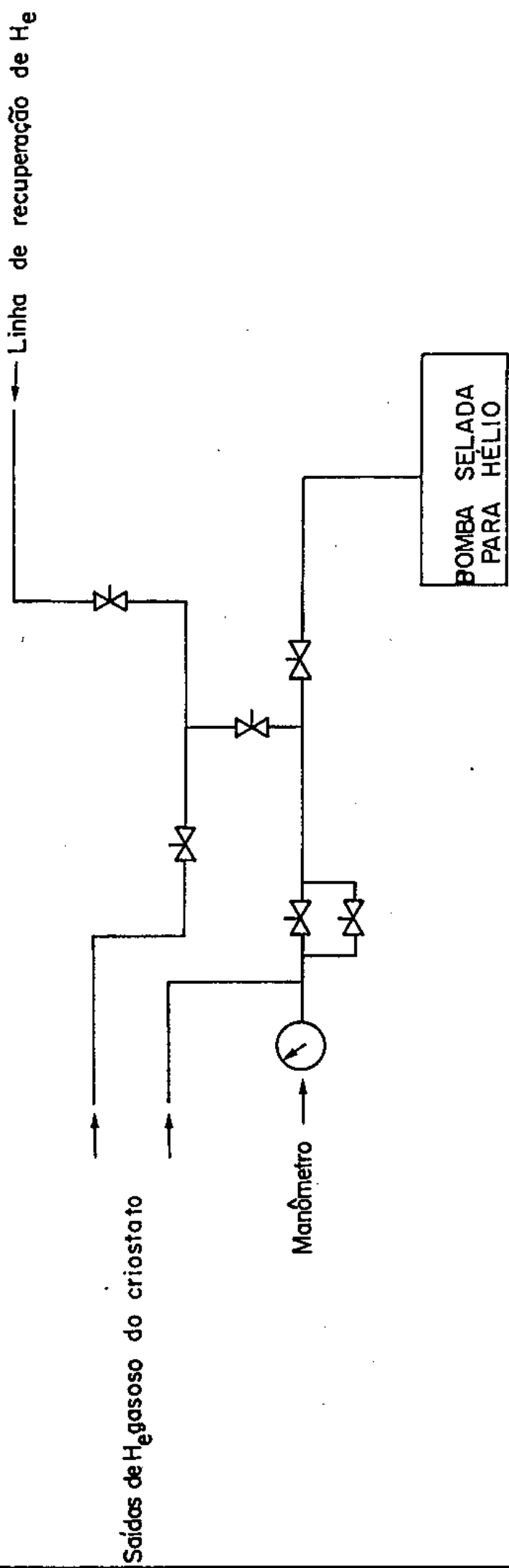


FIG. III.2 - ESQUEMA DO SISTEMA DE CONTROLE DE FLUXO DE H<sub>e</sub>.

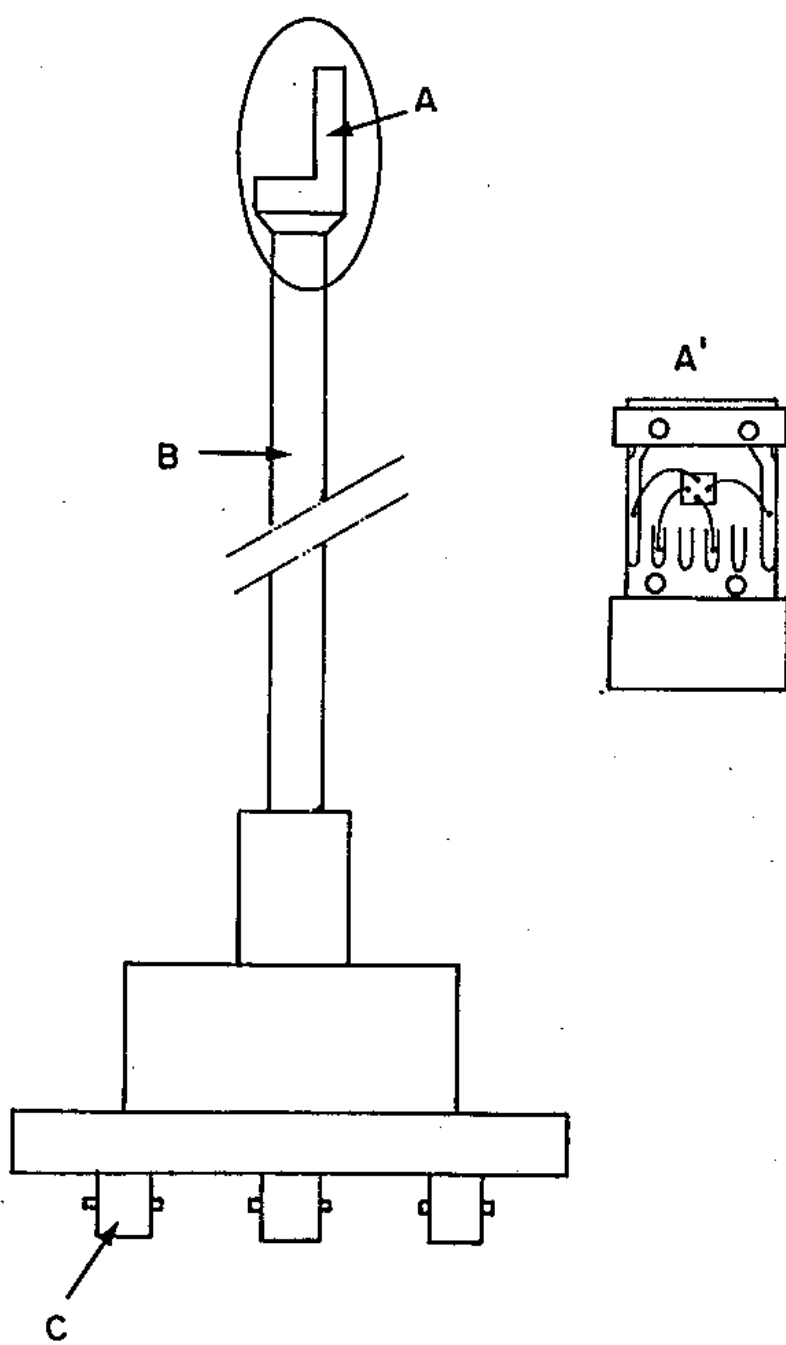


Fig. III - 3 - Suporte de Amostras

solante de dimensões  $11 \times 8 \times 0,1$  mm. Seu parâmetro termométrico é uma resistência elétrica que varia quase linearmente com a temperatura de  $220 \Omega$  (4,2K) à  $290 \Omega$  (297K). Isto dá uma sensibilidade em torno de  $0,239 \Omega/K$ .

Para melhorar a medida de temperatura, calibramos o sensor C.L.T.S. em três pontos: 4,2, 77 e 300K. Com isto, utilizamos duas retas, uma entre 4,2 K e 77 K e outra entre 77 K e 300 K. Assim, a leitura da temperatura está dentro de 1% de precisão.

### III.2.1 - As Amostras e Seus Contatos

Sobre substratos de fosfeto de índio semi-isolante, foram crescidas, por epitaxia de fase líquida, as camadas de liga quaternária  $In_{1-x}Ga_xAs_yP_{1-y}$  que estudamos. Estas são de formato retangular, a espessura de suas camadas variam de  $0,5 \mu m$  a  $2,0 \mu m$ , tendo um comprimento próximo de 1cm e largura próximo de 0,5 cm. Seus contatos são pequenos pedaços de índio recozidos a  $400^{\circ}C$  sobre sua superfície obtendo-se, assim, contatos ôhmicos de pequena área e de forma semi-esférica. Os contatos estão localizados nas bordas da amostra. Há uma configuração ortogonal para as linhas que unem contatos de lados opostos, pois isto facilita as medições, e não influencia os resultados.<sup>30</sup>.

A influência dos contatos sobre o processo de condução na amostra é pequeno, pois eles ocupam apenas cerca de 1% da superfície da amostra. A ligação entre a amostra e os aparelhos de medição é feita através de fios de ouro de 0,5 mm de espessura soldados nos contatos e no suporte da amostra.

### III,3 - Conjunto de Equipamentos de Medida Utilizados

Para as medidas de resistividade e efeito Hall em função da temperatura, usamos a montagem apresentada na Fig. III-4 . Construímos, para a realização de medidas elétricas , uma unidade de comutação para o uso do método de Van der Pauw . Consiste de uma placa de alumínio, com conectores tipo BNC e tipo borne (fêmea), dotada de duas chaves seletoras. As ligações internas foram feitas, de modo que, apenas mudando a posição das chaves seletoras, intercambiávamos os contatos de aplicação de corrente e leitura de tensão. A chave seletora que tem a função de aplicar corrente possui 8 posições e a de leitura de tensão possui 11 posições.

A corrente é fornecida por uma fonte de corrente (Keithley, modelo 225), que varia seus valores de corrente entre  $1 \cdot 10^{-9} \text{ A}$  e  $10^{-1} \text{ A}$  com precisão de  $\pm 0,1\%$  e com alta estabilidade. As leituras das tensões são efetuadas por um nanovoltímetro digital (Keithley, modelo 180) com precisão de 0,1% na região de trabalho. A variação e estabilização da temperatura, durante as medidas, é programada externamente com um controlador de temperatura (Air Liquide, modelo RD 4300) ligado ao diodo GaAs e à resistência de aquecimento do criostato.

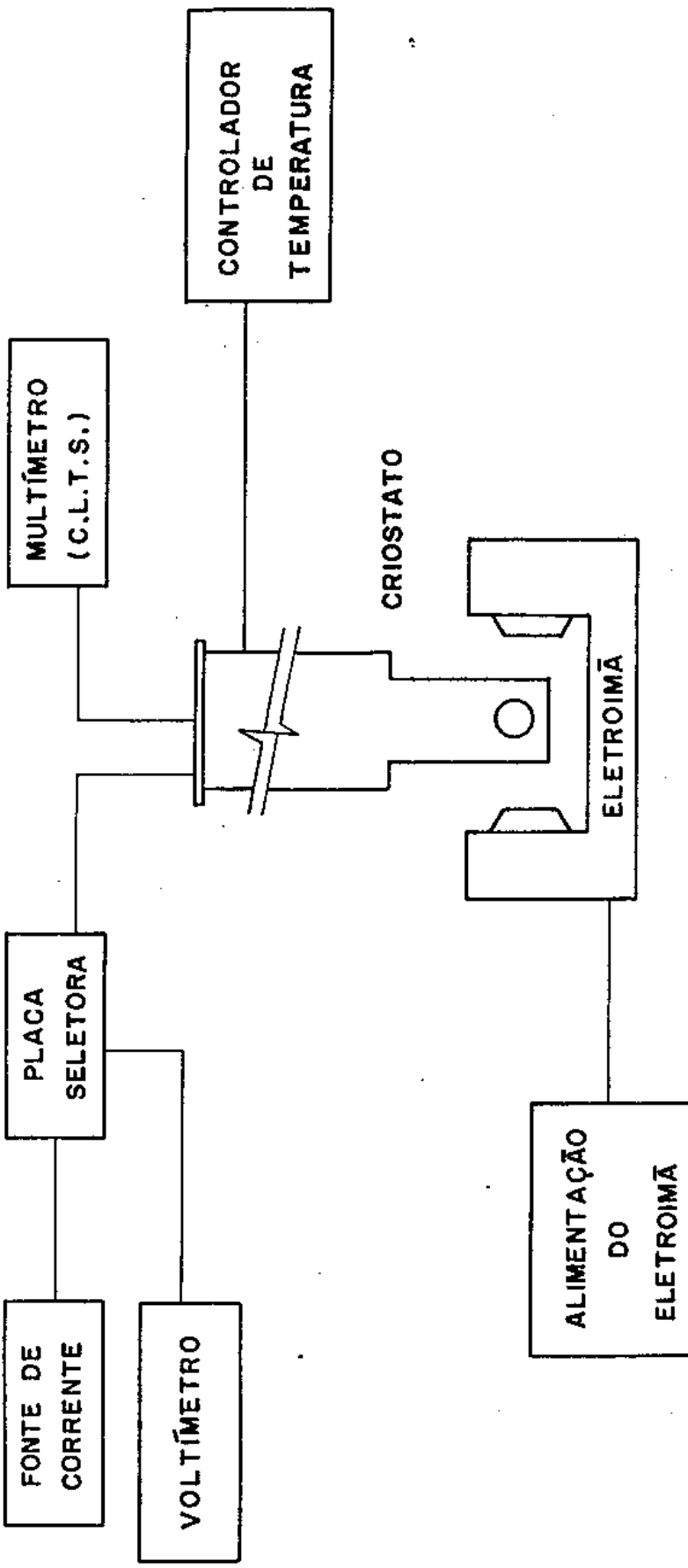


FIG. III-4.: ESQUEMA DO CONJUNTO DE EQUIPAMENTOS DE MEDIDAS

A temperatura onde se encontra a amostra, que é detectada pelo C.L.T.S., é medida através de um multímetro de 5 dígitos e meio (Keithley, modelo 191). O campo magnético é fornecido por um eletroimã (Varian, modelo V 7700), que possibilita um campo de até 10 KG. Adotamos um sistema extra de calibração utilizando uma sonda de efeito Hall com a qual temos uma precisão de 1,0% da medida do campo magnético.

### III.4 - Procedimento Experimental

Fixamos a amostra no suporte e o introduzimos na câmara de amostra. Fazemos, vácuo primário ( $10^{-3}$  torr) nessa câmara, com a bomba de vácuo selada para He. Em seguida, inserem-se gás He na câmara da amostra para ajudar a resfriar esta parte do criostato.

A câmara de isolamento é evacuada até a pressão de  $10^{-6}$  torr. O nitrogênio líquido é colocado na sua câmara e o sistema fica esfriando durante aproximadamente 24 horas. Depois de frio, transferimos ao sistema aproximadamente 10 litros de hélio líquido. O gás evaporado da transferência exerce uma sobrepressão no líquido que acarreta, depois de resfriado a câmara de amostra, seu escoamento através do capilar para o local onde se encontra a amostra. Quando o hélio líquido atinge esta região começamos a realizar as medidas elétricas, sobre as quais falaremos agora.

Para a medida da resistividade no método de Van der Pauw<sup>30</sup>, faz-se fluir corrente entre os contatos A e B e mede-se a tensão resultante entre os outros dois contatos (CD)

(Figura III-5).

Para que haja uma diminuição nos erros das medidas causadas por pequenas inhomogeneidades da amostra e por efeitos térmicos nos contatos, costumamos revezar o sentido da corrente obtendo assim uma média das resistividades das várias partes da amostra.

Para a medida da constante de Hall, a corrente tem que fluir entre os contatos A e D, medindo-se a tensão entre os contatos B e C, isto é feito na presença de um campo magnético perpendicular à superfície da camada. Se os dois contatos sobre os quais é feita a leitura da tensão não estiverem na mesma equipotencial, detectaremos uma tensão residual a qual pode mascarar a tensão de Hall. Para eliminar essa influência, as medidas são realizadas revezando o sentido do campo magnético.

Depois de feitas estas medidas à temperatura do hélio eliminamos a sobrepressão sobre o LHe, abrindo a válvula que liga a linha de recuperação à câmara de LHe e esperamos até que o LHe contido na câmara da amostra evapore. Em seguida, fechamos novamente esta válvula e ligamos a resistência de aquecimento, que se encontra na saída do capilar, este aquecedor evapora o líquido, deixando entrar na câmara da amostra apenas os gás frio responsável pela variação da temperatura na amostra. Com isto, variamos a temperatura realizando as medidas elétricas citadas acima até atingirmos a temperatura ambiente.

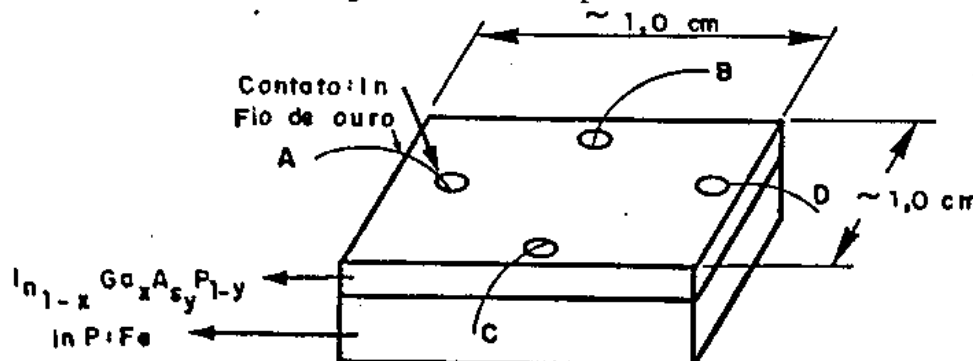


FIG. III - 5: Esquema da Amostra com seus contatos.

### III.5 - Fontes de Erros Experimentais

Uma análise dos vários fatores que afastam a amostra real daquela que se poderia considerar a amostra ideal para medidas de transporte, bem como, os cuidados para reduzir-lhes a influência, é descrito detalhadamente na referência (31).

Analisaremos agora, através das expressões das grandezas medidas, os erros originados dos equipamentos de medidas:

$$\rho = \text{cte} \frac{V_0}{i_0} d \quad \text{e} \quad R_H = \text{cte} \frac{V_H d}{i_B H}$$

onde  $\rho$  é a resistividade,  $R_H$  a constante de Hall,  $V$  a tensão,  $i$  a corrente,  $B$  o campo magnético e  $d$  a espessura.

O erro total percentual nas medidas originadas por incerteza dos aparelhos de medição é, para a resistividade:

$$\frac{\Delta \rho}{\rho} = \frac{\Delta V_0}{V_0} + \frac{\Delta i_0}{i_0} + \frac{\Delta d}{d}$$

e, para a constante de Hall:

$$\frac{\Delta R_H}{R_H} = \frac{\Delta V_H}{V_H} + \frac{\Delta i_H}{i_H} + \frac{\Delta B}{B} + \frac{\Delta d}{d}$$

ou seja,

$$\frac{\Delta \rho}{\rho} = 0,2\% + \frac{\Delta d}{d}$$

$$\frac{\Delta R_H}{R_H} = 1,2\% + \frac{\Delta d}{d}$$

A espessura é medida em microscópio através da revelação fotográfica da junção, o erro máximo cometido é de 10%. Desta forma o erro experimental na determinação da constante de Hall (11,2%) e da resistividade (10,2%) é praticamente todo originado pela imprecisão na medida da espessura da camada.

Sendo a mobilidade de Hall calculada através de

$$\mu_H = \frac{R_H}{\rho} = \text{cte} \frac{V_H I_P}{V_P I_H B}$$

o erro referente à medida da espessura não causará imprecisão no seu valor. Portanto, o erro experimental causado pelos aparelhos de medição, na medida da mobilidade, é menor que 2%.

Se usarmos a mesma corrente para a mobilidade de  $R_H$  e  $\rho$ , o erro reduz ainda mais, pois  $\mu_H$  fica,

$$\mu_H = \text{cte} \frac{V_H}{V_P B} \quad \frac{\Delta \mu_H}{\mu_H} = \frac{\Delta V_H}{V_H} + \frac{\Delta V_P}{V_P} + \frac{\Delta B}{B} = 1,2\%$$

CAPÍTULO IV - APRESENTAÇÃO E ANÁLISE DOS RESULTADOS EXPERIMENTAIS

IV.1 - ESTUDO DOS PARÂMETROS A SEREM UTILIZADOS

Nos capítulos anteriores, várias grandezas físicas do material foram utilizadas como parâmetros dos cálculos desenvolvidos, portanto, faz-se necessário uma análise dos valores obtidos para estes parâmetros.

Para a determinação da massa efetiva dos elétrons para uma liga quaternária cristalina  $In_{1-x}Ga_xAs_yP_{1-y}$ , <sup>32</sup> Nicholas e outros empregaram vários métodos de medidas obtendo resultados concordantes na maior parte das possíveis composições. Seus resultados coincidem com os de Perea e outros <sup>33</sup> e dão para nossas amostras ( $y=0,63$  e  $x=0,29$ )  $m^* = 0,057 m_0$ .

O parâmetro de rede da camada epitaxial difere ligeiramente da do substrato e depende da composição da liga. Nahory e outros <sup>34</sup> mediram o parâmetro de rede das ligas abrangendo todo o espectro de composições. Para a composição aqui analisada, teremos que  $a = 5,8688 \text{ \AA}$ .

Através do método de interpolação que se baseia nos valores das grandezas dos binários ou dos ternários constituintes da liga, podemos estimar os parâmetros que não tem determinação experimental. Para isto, a grandeza do quaternário é calculada por <sup>35</sup> :

$$Q(x, y) = xy T_{BC} + x(1 - y) T_{BD} + y(1 - x) T_{AC} + (1 - x)(1 - y) T_{AD}$$

para compostos da forma  $A_{1-x}B_xC_yD_{1-y}$ , onde  $T_{ij}$  é o parâmetro do binário  $ij$ .

Por esta interpolação obtemos os valores das constantes dielétricas estática<sup>36</sup>,  $K_s = 13,3$ , e de alta frequência,  $K_d = 11,1$ , da temperatura de Debye para fonons ópticos<sup>37</sup>,  $\theta = 442$  K, do potencial de deformação acústica<sup>36</sup>,  $E_{lc} = 6,83$  eV, da velocidade do som  $u_l = 3,5 \cdot 10^5$  cm.s<sup>-1</sup> e da banda proibida<sup>34</sup>,  $E_g = 0,96$  eV.

#### IV.2 - RESULTADOS EXPERIMENTAIS

As medidas experimentais se resumem, basicamente, na determinação do comportamento da constante de Hall ( $R_H$ ) e da resistividade ( $\rho$ ) em função da temperatura entre 4,2 e 300 K. As figuras (IV-1) e (IV-2) apresentam, respectivamente, as variações do logaritmo da constante de Hall e da resistividade com o inverso da temperatura absoluta ( $T$ ). Notamos que há certas amostras que apresentam um valor máximo para  $R_H$  em torno de 100 K, o que em geral caracteriza uma região de transição entre processos de condução. Mas a maior parte delas mostram que a densidade de portadores se mantém praticamente constante, o que pode ser explicada por uma degenerescência ou exaustão do nível de impureza. Para o nosso cristal que é do tipo n, isto significa que os níveis doadores de energia estão muito próximos da banda de condução. Para confirmação disto, realizamos o cálculo da posição do nível de Fermi através da eq. (I-44) usando para n o valor de  $\frac{1}{eR_H}$ . Com

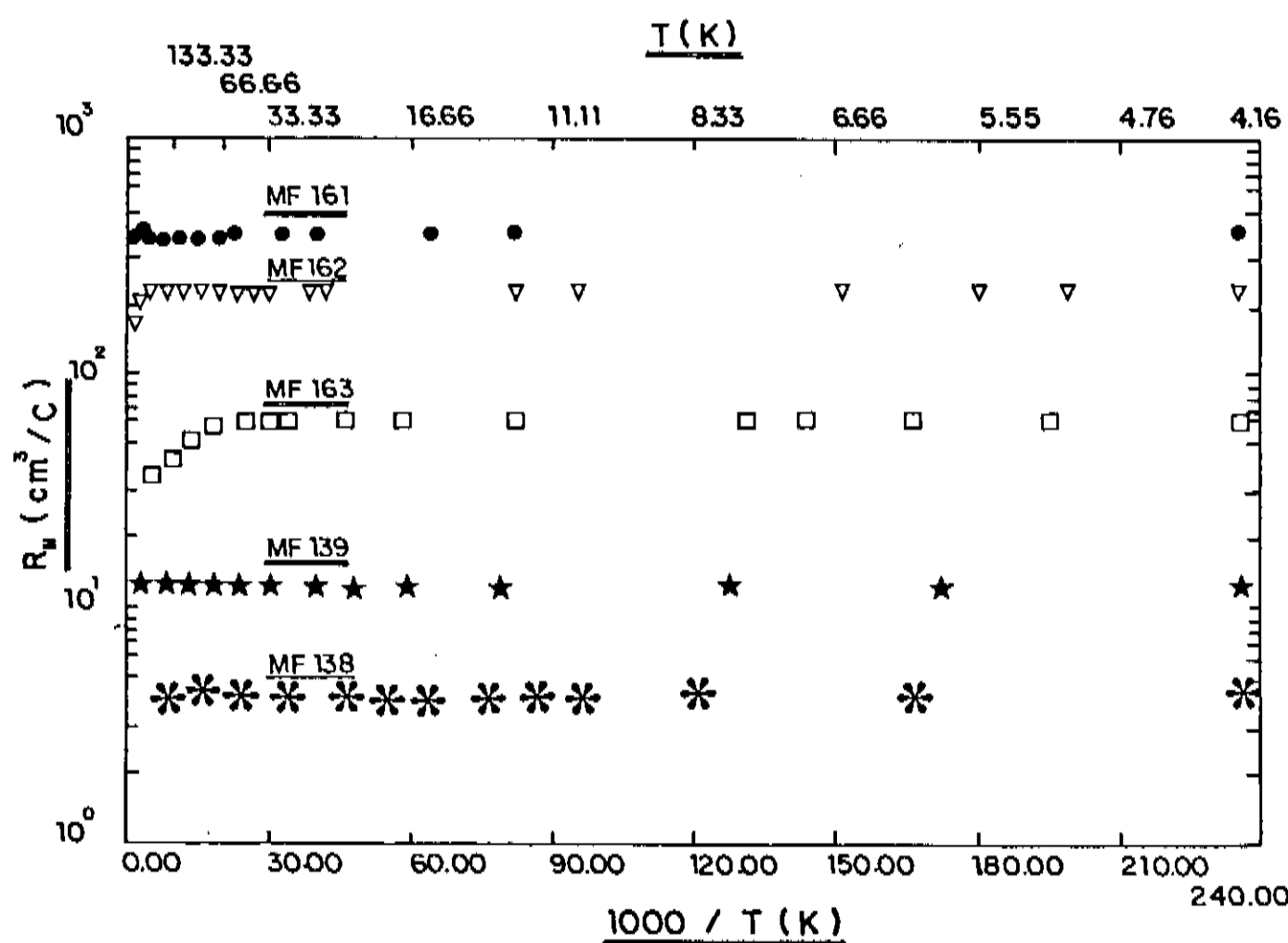
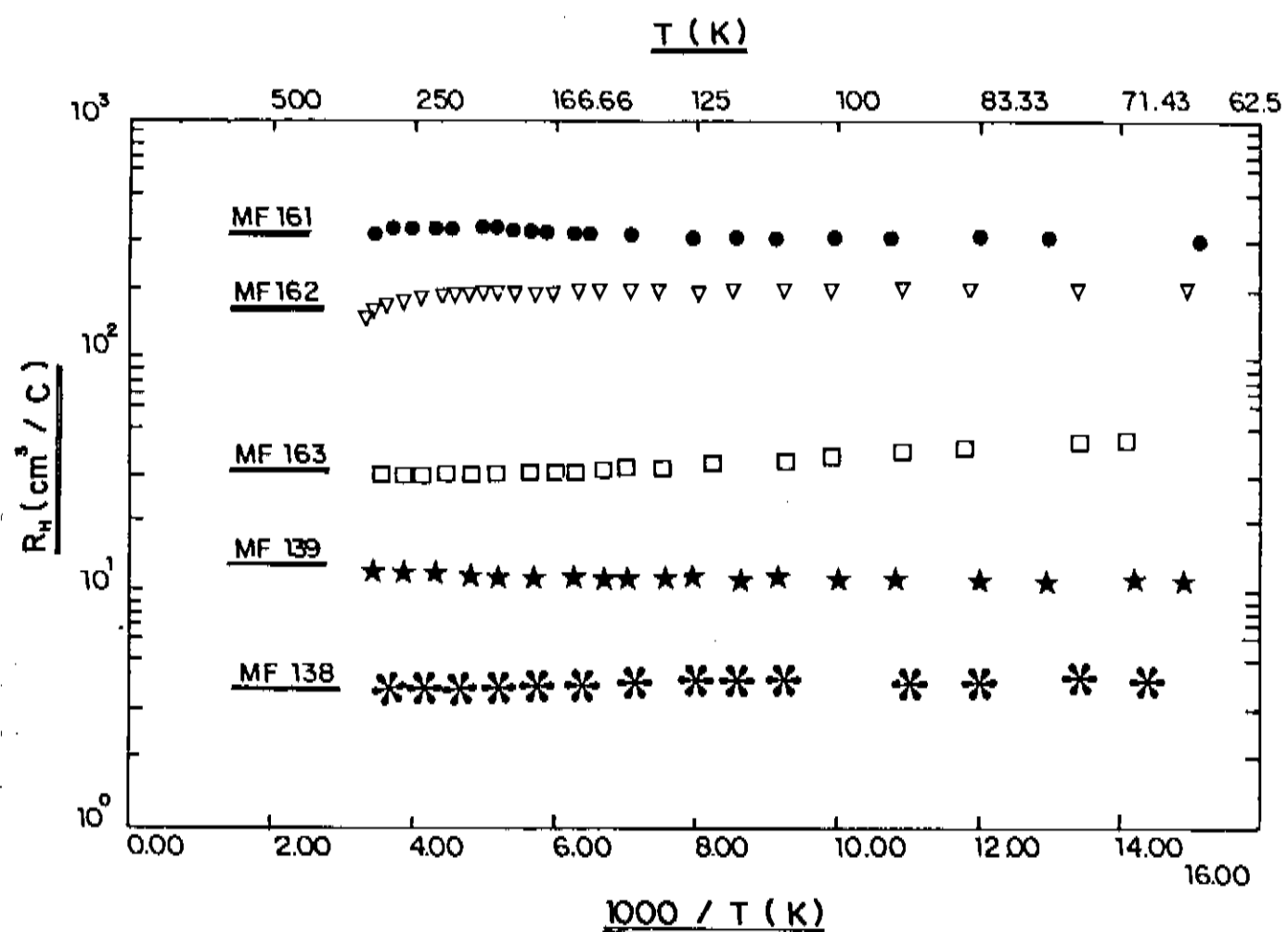


FIG. IV - 1: Variação do logaritmo da constante de Hall ( $R_H$ ) com o inverso da temperatura.

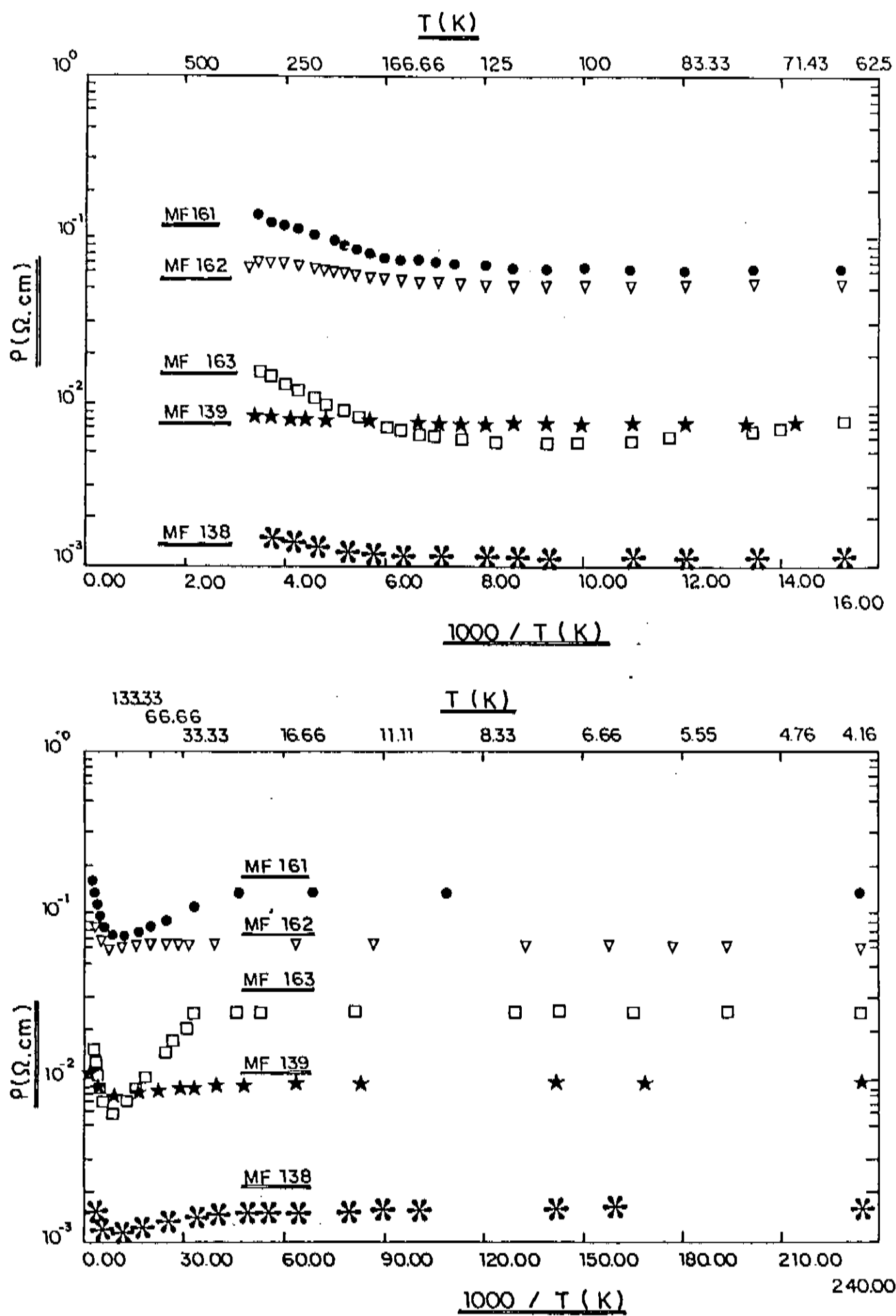


FIG. IV - 2: Variação do logaritmo da resistividade ( $\rho$ ) com o inverso da temperatura.

isto, mostramos que os níveis de Fermi , ou se encontram próximos da banda de condução (para temperaturas altas), ou estão dentro dela (para temperaturas baixas). Este cálculo foi realizado através do computador cujo programa se encontra no Apêndice I.

Por outro lado, como os níveis doadores que codem elétrons para a condução estão esgotados, isto é, estão totalmente ionizados, podemos escrever:

$$n = N_D - N_A$$

e a densidade de impurezas ionizadas é dada por:

$$N_i = N_A + N_D$$

Os níveis de impurezas doadoras ( $N_D$ ) e aceitadoras ( $N_A$ ) são mais fáceis de serem observadas à baixa temperatura porque, para bandas proibidas não muito pequenas, não há influência dos portadores intrínsecos.

O coeficiente de Hall da amostra MF163 apresenta um decaimento na faixa de temperatura entre 53K e 300 K, o que significa que neste cristal há um nível de impureza próximo à banda de condução. Através da eq.(I-50) , na aproximação para  $k_B T \gg F'$ , calculamos a energia de ionização deste nível na região que se apresenta a inclinação citada obtivemos, através de interpolação pelo método dos mínimos quadrados, o valor  $\Delta E = 32,6$  meV, que corresponde à um átomo de impureza de silício <sup>(38, 39)</sup>

Na amostra MF162, possivelmente encontrariamos

impurezas em um nível mais profundo, se continuássemos a realizar medidas para temperaturas acima da ambiente.

Para o cristal menos dopado (MF161), é de se esperar que o fator de Hall  $r_H$  seja diferente de 1, pelo menos perto da temperatura ambiente. Para verificarmos isto, utilizamos o valor da energia de Fermi encontrada através de

$$n = \frac{1}{eR_H} = N_C F_{1/2} \quad (\text{eq. (I-44)}) \text{ e, com eles, calculamos}$$

$$r_H = \frac{\langle \tau \rangle^2}{\langle \dot{\tau} \rangle^2} \quad \text{para todos os tipos de espalhamento.}$$

Este procedimento é justificável porque os valores de  $r_H$  estão sempre entre 1 e 2 e a posição do nível de Fermi varia muito pouco com uma variação desta ordem em  $n$ .

Os gráficos de  $r_H \times 1/T$  para os vários tipos de espalhamento do cristal citado acima, são mostrados na figura (IV-3).

As curvas de resistividade não evidenciaram qualquer mudança de comportamento a baixa temperatura. Verificamos, também, que elas atingem um mínimo em torno de 100 K.

As figuras (IV-4) mostram o comportamento da mobilidade de Hall ( $\mu_H$ ), que é derivada das medições efetuadas ( $\mu_H = R_H/\rho$ ), com o inverso da temperatura absoluta, das amostras estudadas neste trabalho. Através delas determinamos a densidade de impurezas ionizadas ( $N_i$ ) e o potencial de espalhamento por desordem na rede ( $\Delta U$ ) que, como veremos mais adiante, juntamente com a densidade de portadores ( $n$ ) obtida pela curva da constante de Hall, fornecem as densidades de impurezas doadoras e aceitadoras.

Analizando com cuidado as figuras (IV-4) vemos que na maioria das curvas a mobilidade apresenta-se constante

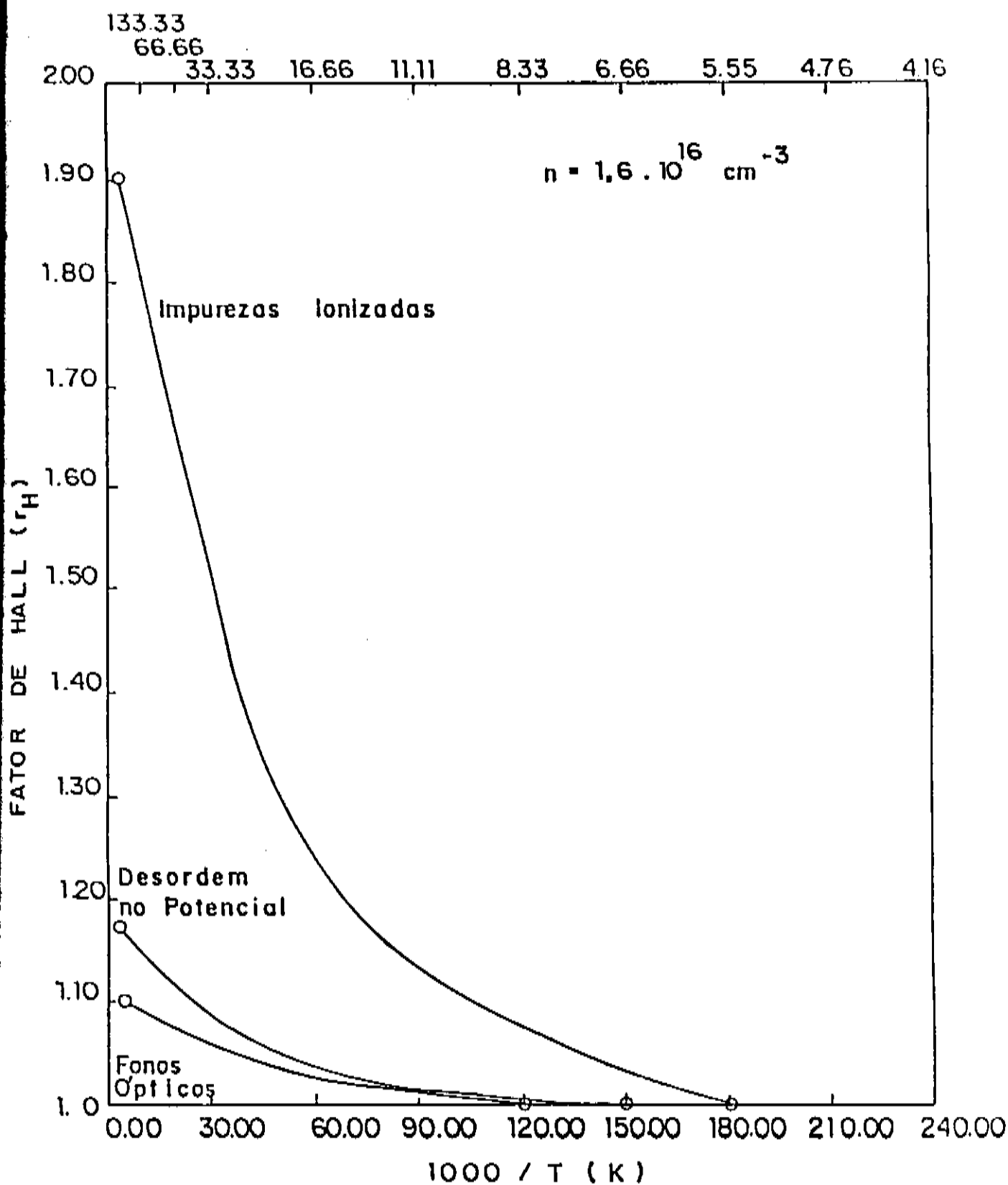


FIG.IV - 3: Variação do Fator de Hall ( $r_H$ ) para impurezas ionizadas, desordem no potencial e fonons ópticos com o inverso da temperatura.

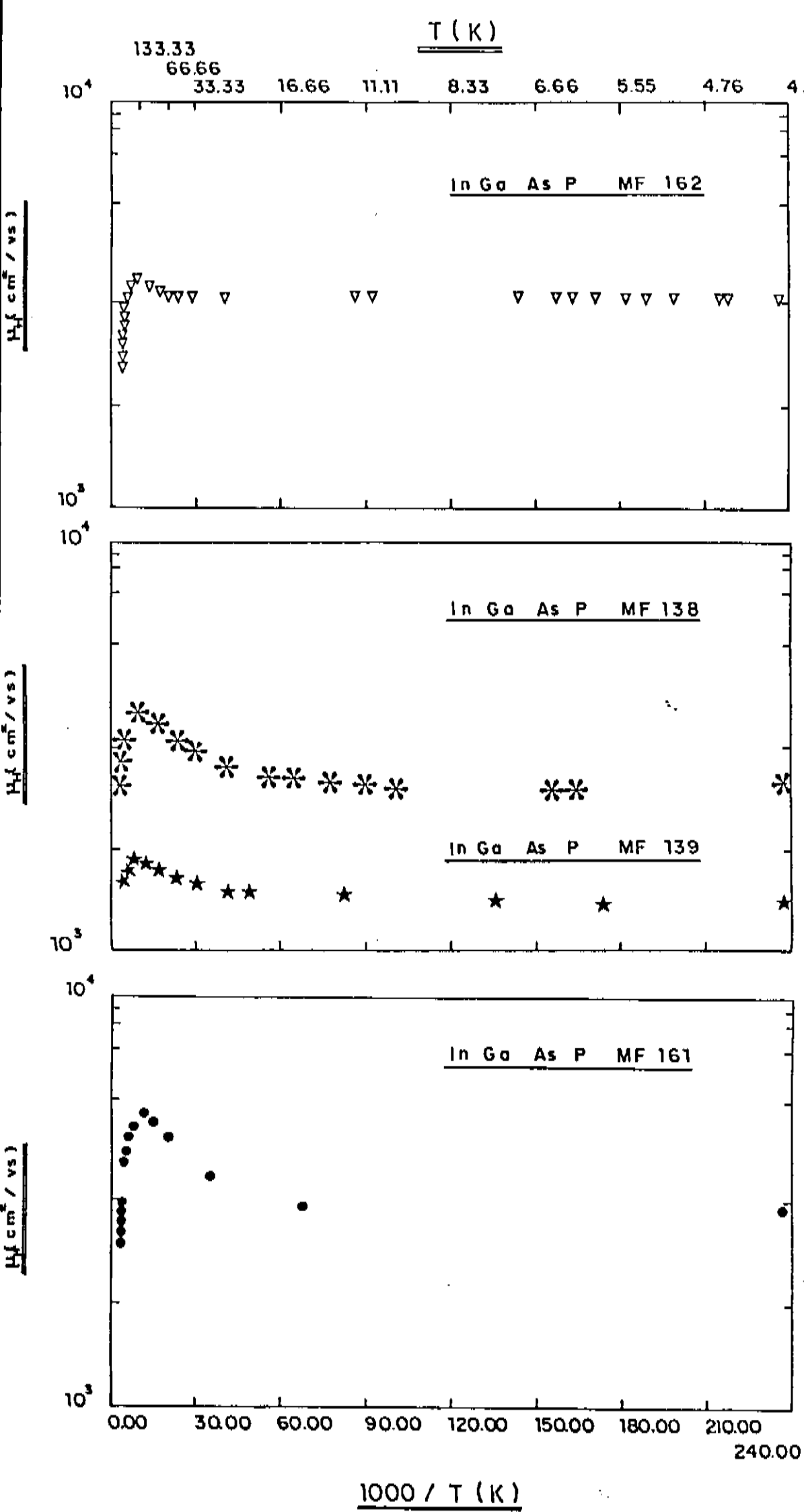


FIG. IV - 4: Variação do logaritmo da mobilidade de Hall ( $\mu_H$ ) com o inverso da temperatura.



sendo que  $\rho$  é dado em  $\Omega \cdot \text{cm}$  e  $\mu_H$  em  $\text{cm}^2/\text{V.s}$ .

O programa utilizado para fazermos os cálculos de  $R_H$ ,  $\rho$ ,  $\mu_H$  e traçar as curvas apresentadas nesta secção estão no Apêndice II.

#### IV.3 - MÉTODO DE ANÁLISE DA MOBILIDADE

Num primeiro passo, utilizando os valores de constantes encontrados na literatura e valores para concentração de impurezas ionizadas coerentes com os nossos resultados experimentais e utilizando a regra de Mathiessen dada pela eq. (II-1), traçamos uma curva teórica de  $\mu_D \propto 1/T$ .

Esta curva teórica ( $\mu_D$ ), juntamente com as curvas teóricas de  $\mu_{\text{II}}$ ,  $\mu_{\text{PO}}$ ,  $\mu_A$  e  $\mu_{\text{PA}}$  que encontram-se na figura (IV-5), nos serve de referência para a análise dos resultados experimentais. No Apêndice III encontra-se o programa utilizado para realizar estes cálculos.

Como resultados observamos que:

- Espalhamento por fonon acústico praticamente não influencia no cálculo da mobilidade.
- À temperatura ambiente, fonons ópticos e desordem do potencial cristalino são os modos predominantes de espalhamento.
- À baixa temperatura, impurezas ionizadas e desordem do potencial cristalino são os modos predominantes. Portanto, ao contrário do que tem sido considerado usualmente<sup>(40, 41)</sup>, impurezas ionizadas não são os únicos centros de espalhamento importantes à baixa temperatura.

T ( K )

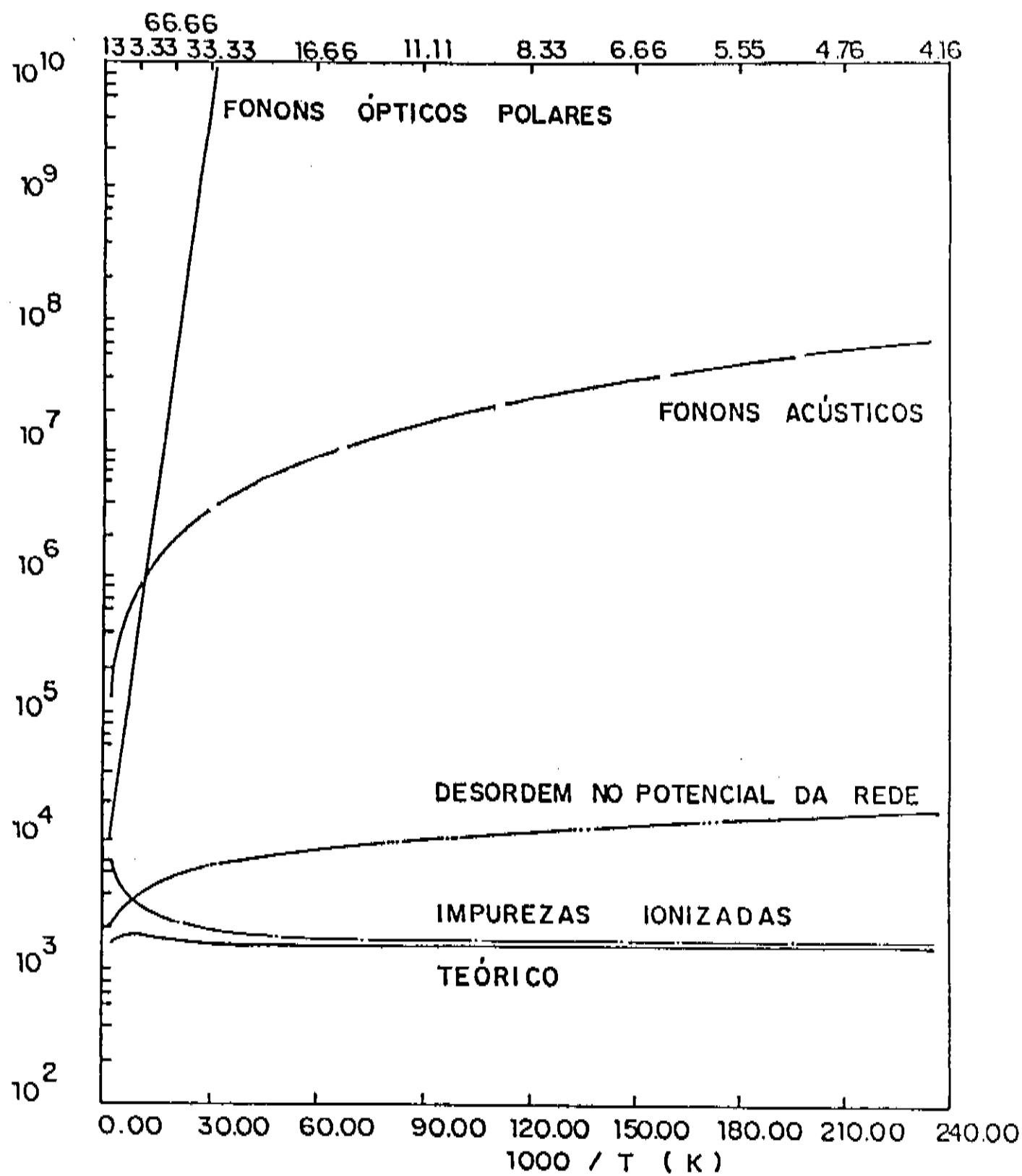


FIG.IV - 5: Variação das mobilidades teóricas ( $\mu_{PO}, \mu_{PA}, \mu_A, \mu_B, \mu_D$ ) com o inverso da temperatura.

Dos parâmetros a serem utilizados nestes cálculos, não conhecemos com precisão, para o nosso material, a densidade de impurezas ionizadas ( $N_i$ ), usada no cálculo da mobilidade limitada por espalhamento por impurezas ionizadas ( $\mu_{II}$ ), nem o potencial de espalhamento ( $\Delta U$ ) usada no cálculo da mobilidade limitada por espalhamento por desordem no potencial da rede ( $\mu_A$ ). Para a análise dos resultados experimentais propriamente dito, utilizamos o fato de que os fonons não influenciam a mobilidade dos portadores do material à baixa temperatura e como, à 4,2 K, todos os cristais estão degenerados, substituímos o valor da mobilidade de Hall à esta temperatura na equação da mobilidade limitada por impurezas ionizadas e obtivemos um valor da densidade de impurezas ionizadas ( $N_i$ ).

Levando em conta que a mobilidade limitada por desordem no potencial da rede pode ser expressa como função do potencial  $\Delta U$ , ou seja,  $\mu_A = h(\Delta U)$  calculamos o valor de  $\Delta U$  para temperaturas entre 4,2 e 300K, através da equação, derivada da regra de Mathiessen:

$$\frac{1}{h(\Delta U)} = \frac{1}{\mu_{PO}} + \frac{1}{\mu_{II}} + \frac{1}{\mu_{PA}} - \frac{1}{\mu_H} \quad (IV-1)$$

Consideramos sempre  $r_H = 1$  e  $N_i$  fixo, exceto para o cristal MF 161, como veremos depois.

Este cálculo foi realizado através do computador, cujo programa se encontra no Apêndice IV.

Evidentemente, o valor de  $\Delta U$  calculado não está correto uma vez que, como vimos, espalhamento por desordem do potencial da rede também influencia a mobilidade a 4,2 K. Entretanto, ele serve como valor inicial para ajustar as curvas teóricas às experimentais. Para isto, demos pequenos a-

créscimos a  $\Delta U$ , calculamos um novo valor de  $N_i$  através da eq. (IV-1) bem como o desvio padrão. Novos incrementos são dados a  $\Delta U$  até que o desvio padrão passe por um mínimo. O valor de  $\Delta U$  e  $N_i$  correspondentes a este valor mínimo são considerados os melhores.

Para o cristal MF 161, consideramos o fator de Hall calculado fig. (IV-3). Neste caso, a equação IV-1 foi modificada para :

$$\frac{1}{\mu_H} = \frac{1}{r_{H_{PO}} \mu_{PO}} + \frac{1}{r_{H_{II}} \mu_{II}} + \frac{1}{r_{H_A} \mu_A}$$

Para a amostra MF 163, fizemos o ajuste somente para temperaturas abaixo de 50 K pois, como vimos, acima desta temperatura começa a excitação de um nível de impureza. Para a interpolação acima de 50 K, consideramos  $N_i = N_{i_{T<50K}} + \Delta n$ ,  $\Delta n$  sendo a variação de  $n$ .

#### IV.4 - RESULTADOS DA ANÁLISE E DISCUSSÃO

Na tabela 4 temos os resultados obtidos através dos cálculos realizados na secção anterior, para as densidades de impurezas ionizadas, aceitadoras e doadoras e para o potencial de espalhamento de cada uma das amostras estudadas.

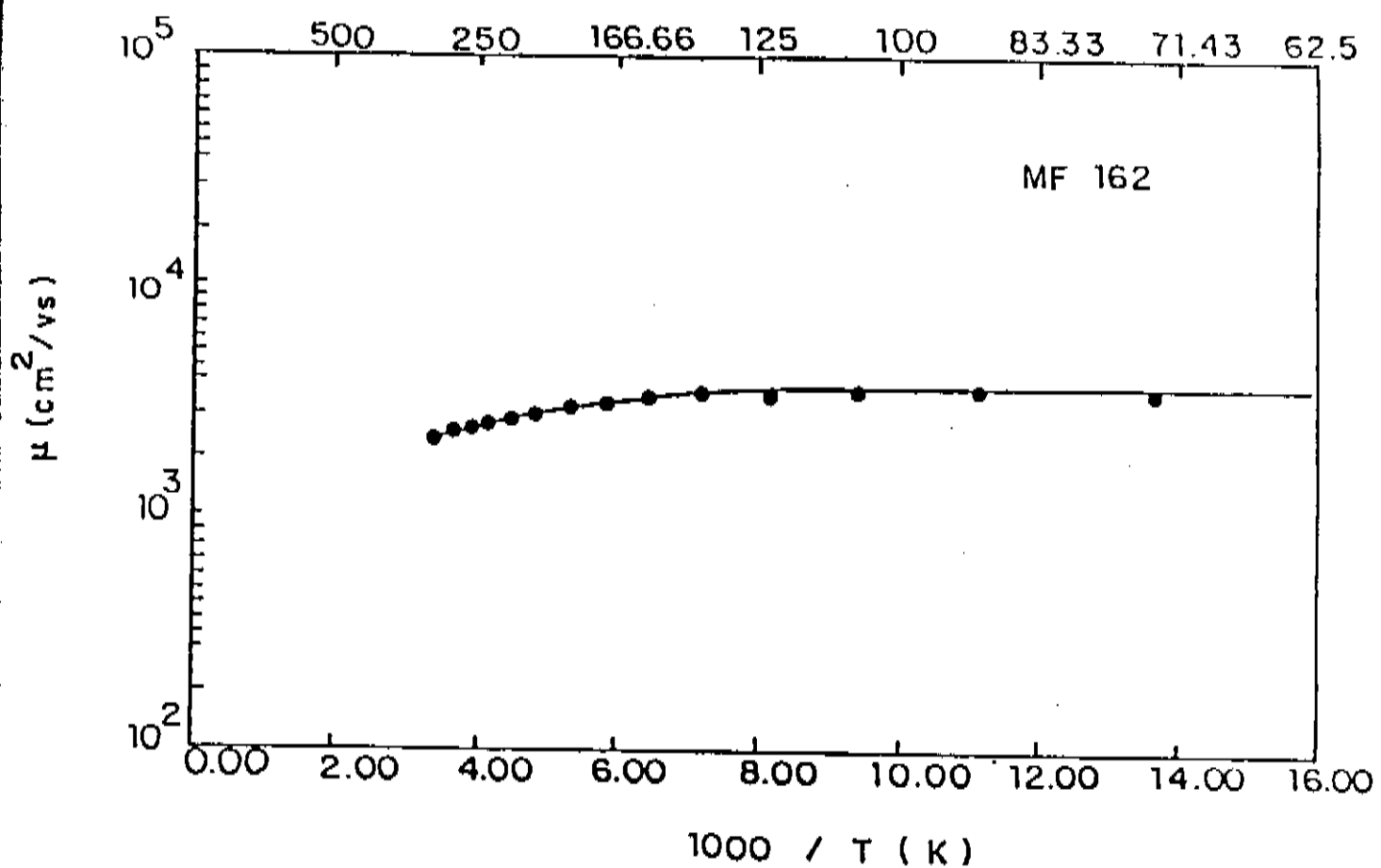
TABELA 4 :

Amostra	$N_i (\text{cm}^{-3})$	$N_A (\text{cm}^{-3})$	$N_D (\text{cm}^{-3})$	$\Delta U (\text{eV})$
MF 161	$1,88 \cdot 10^{16}$	$1,4 \cdot 10^{15}$	$1,74 \cdot 10^{16}$	0,56
MF 162	$4,65 \cdot 10^{16}$	$7,3 \cdot 10^{15}$	$3,92 \cdot 10^{16}$	0,61
MF 163	$5,83 \cdot 10^{16}$	$1,37 \cdot 10^{16}$	$4,46 \cdot 10^{16}$	0,57
MF 139	$6,86 \cdot 10^{17}$	$8,3 \cdot 10^{16}$	$6,03 \cdot 10^{17}$	0,52
MF 138	$5,07 \cdot 10^{18}$	$1,73 \cdot 10^{18}$	$3,34 \cdot 10^{18}$	0,62

Com os resultados acima obtidos, podemos calcular a curva teórica para a mobilidade através da regra de Matthiessen (eq.II-1). Comparando esta curva com a experimental, observamos uma boa interpolação (Figs.IV-6).

Leheny e outros<sup>42</sup> mostraram que esta interpolação é impossível sem considerarmos o espalhamento por desordem no potencial da rede. A maioria dos trabalhos subsequentes leva em consideração este tipo de espalhamento mas, por outro lado não analisam a mobilidade à baixa temperatura e consideram, em geral,  $N_i = n$ , estatística de Boltzmann e  $r_H = 1$ . O uso da estatística de Boltzmann ao invés da de Fermi-Dirac pode dar diferenças substanciais nos resultados. Talvez advenha daí a dispersão dos valores de  $\Delta U$  encontrados na literatura (entre  $0,3^{29}$  e  $0,8^{43}$ ). Naturalmente, para uma certa faixa de concentração, as aproximações usadas normalmente são válidas e os valores de  $\Delta U$  devem coincidir com o nosso.

Um ponto importante que não levamos em conside-



T ( K )

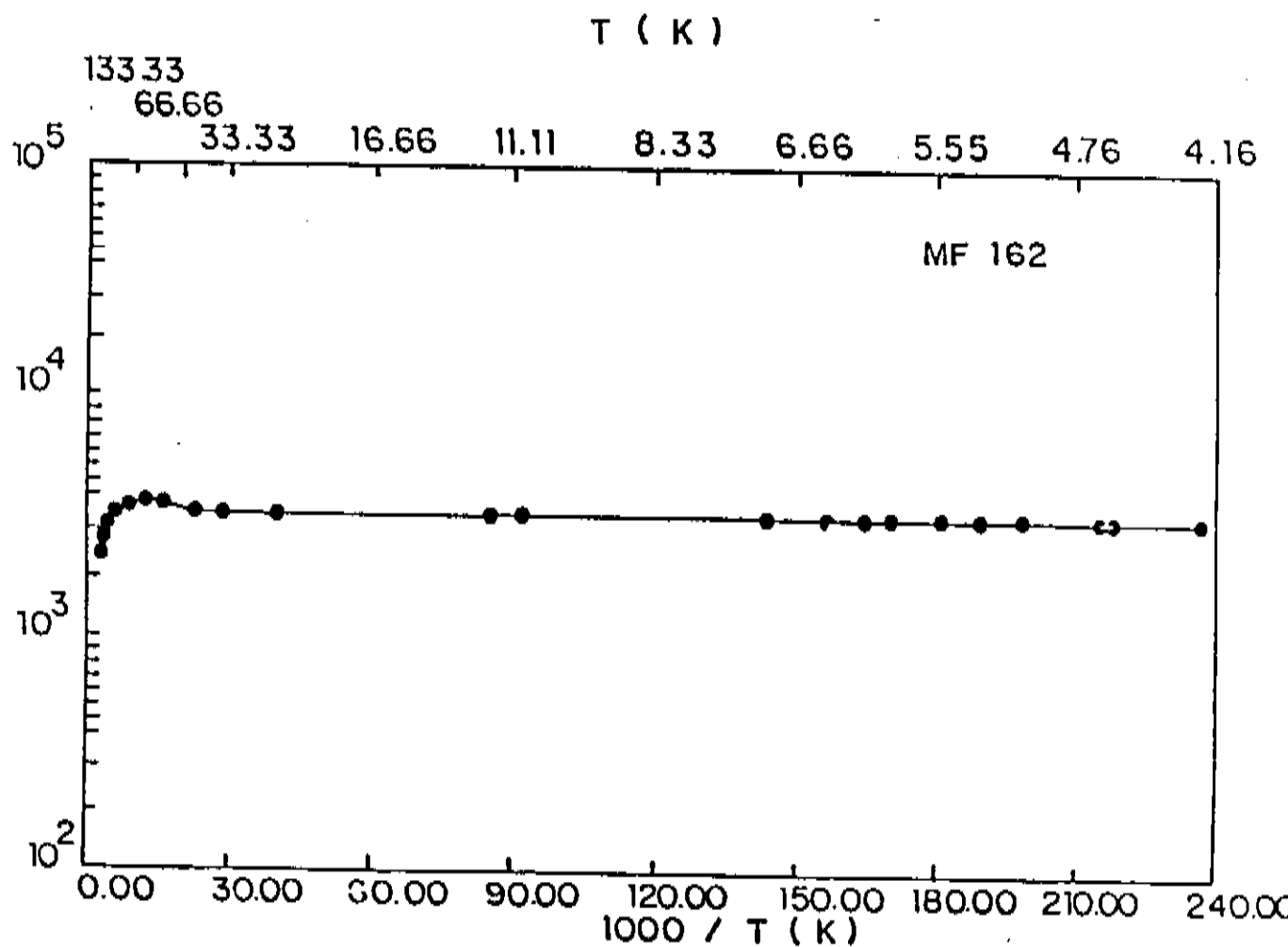
 $\mu$  ( $\text{cm}^2/\text{Vs}$ )

FIG. IV ~ 6: Comparação da curva da mobilidade teórica ( $\mu_D$ ) com os pontos experimentais ( $\mu_H$ ), em função do inverso da temperatura.

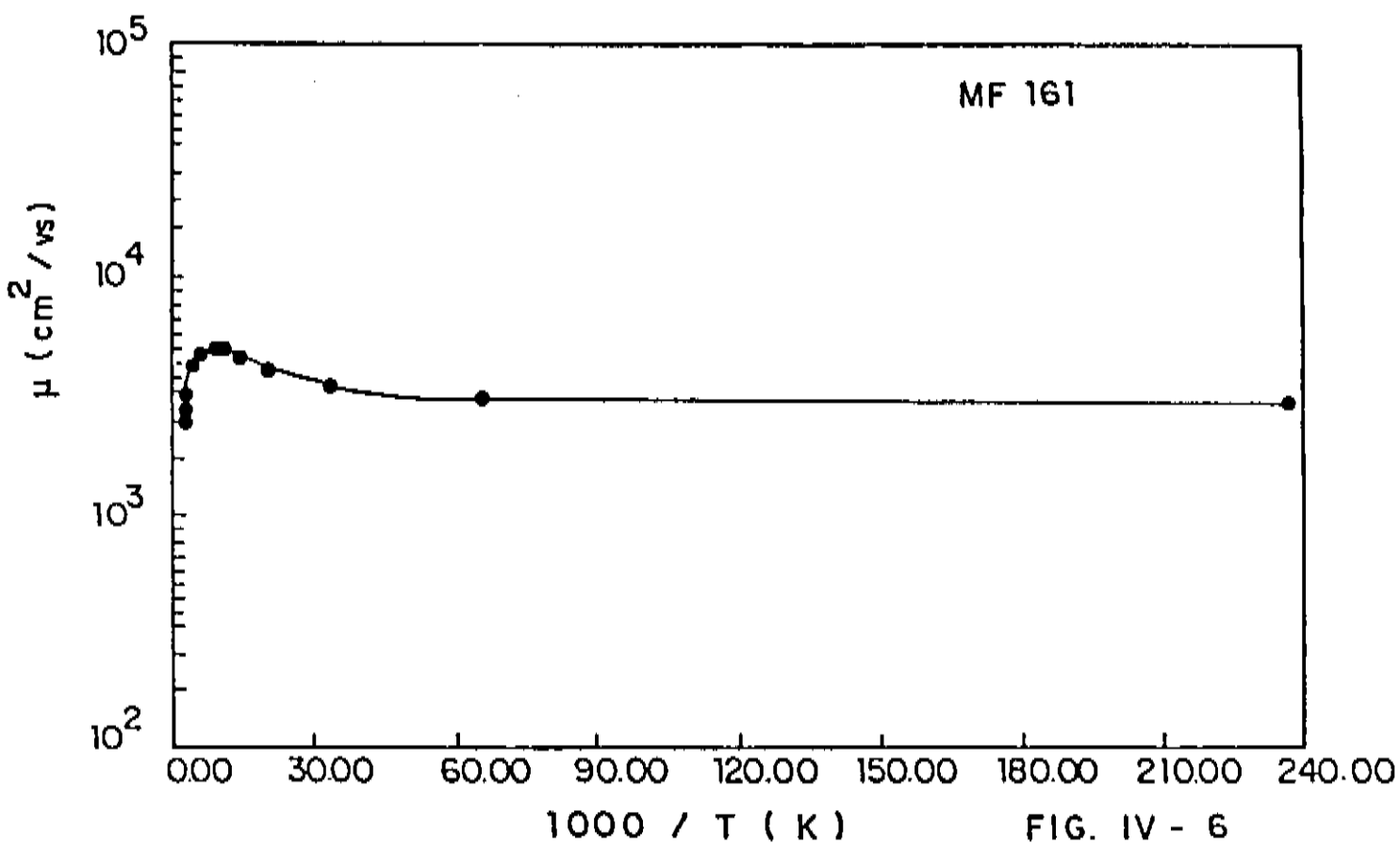
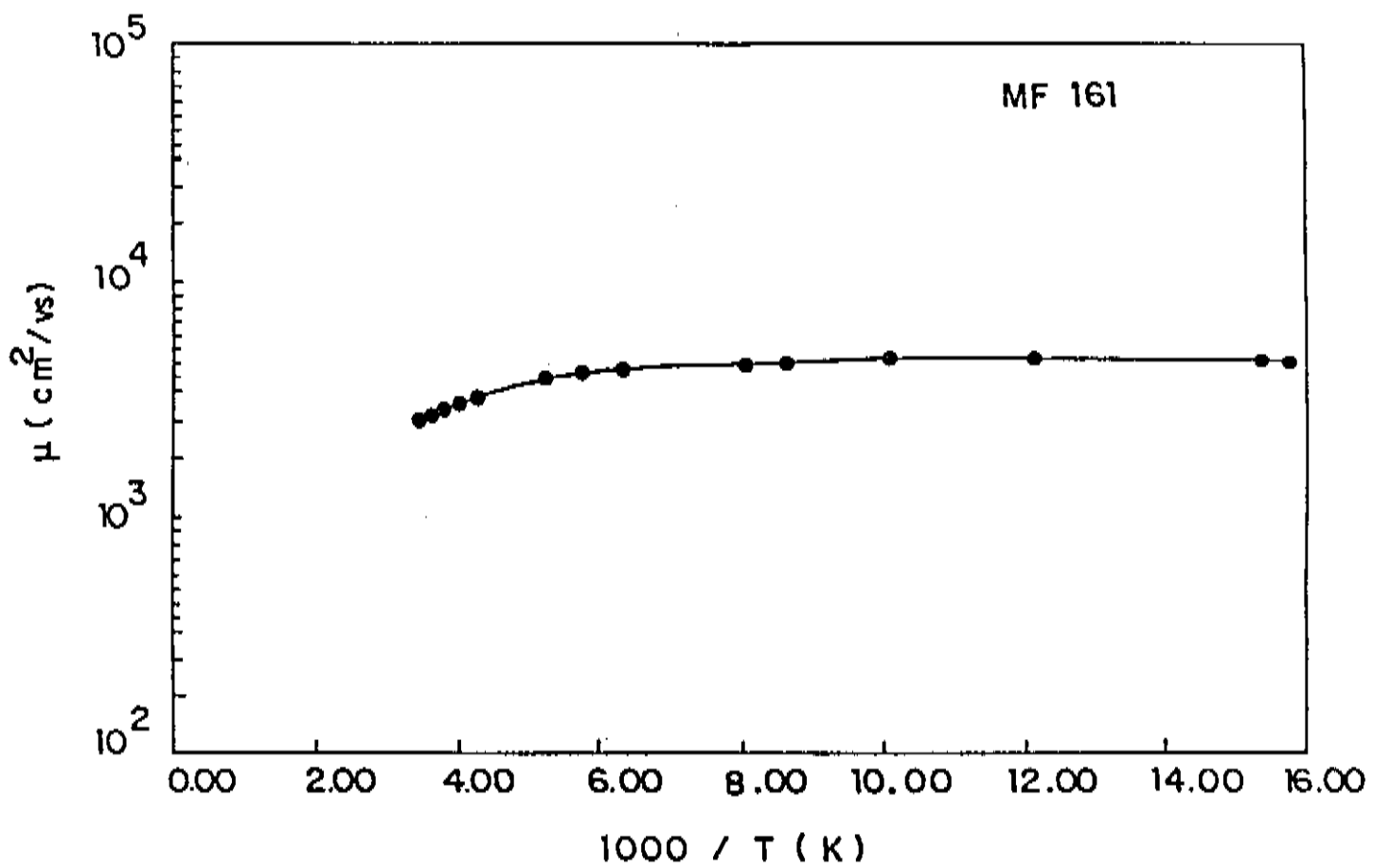


FIG. IV - 6

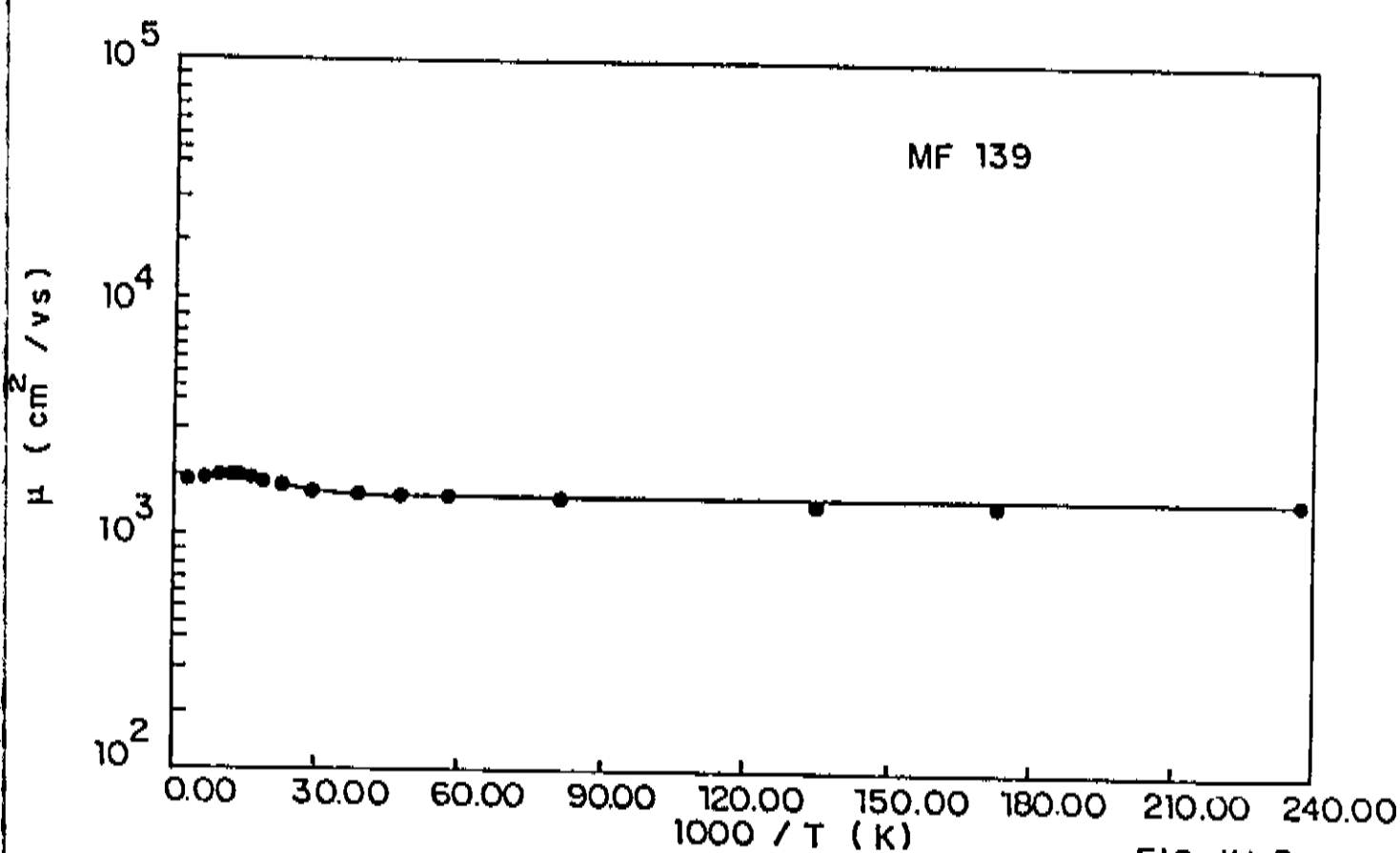
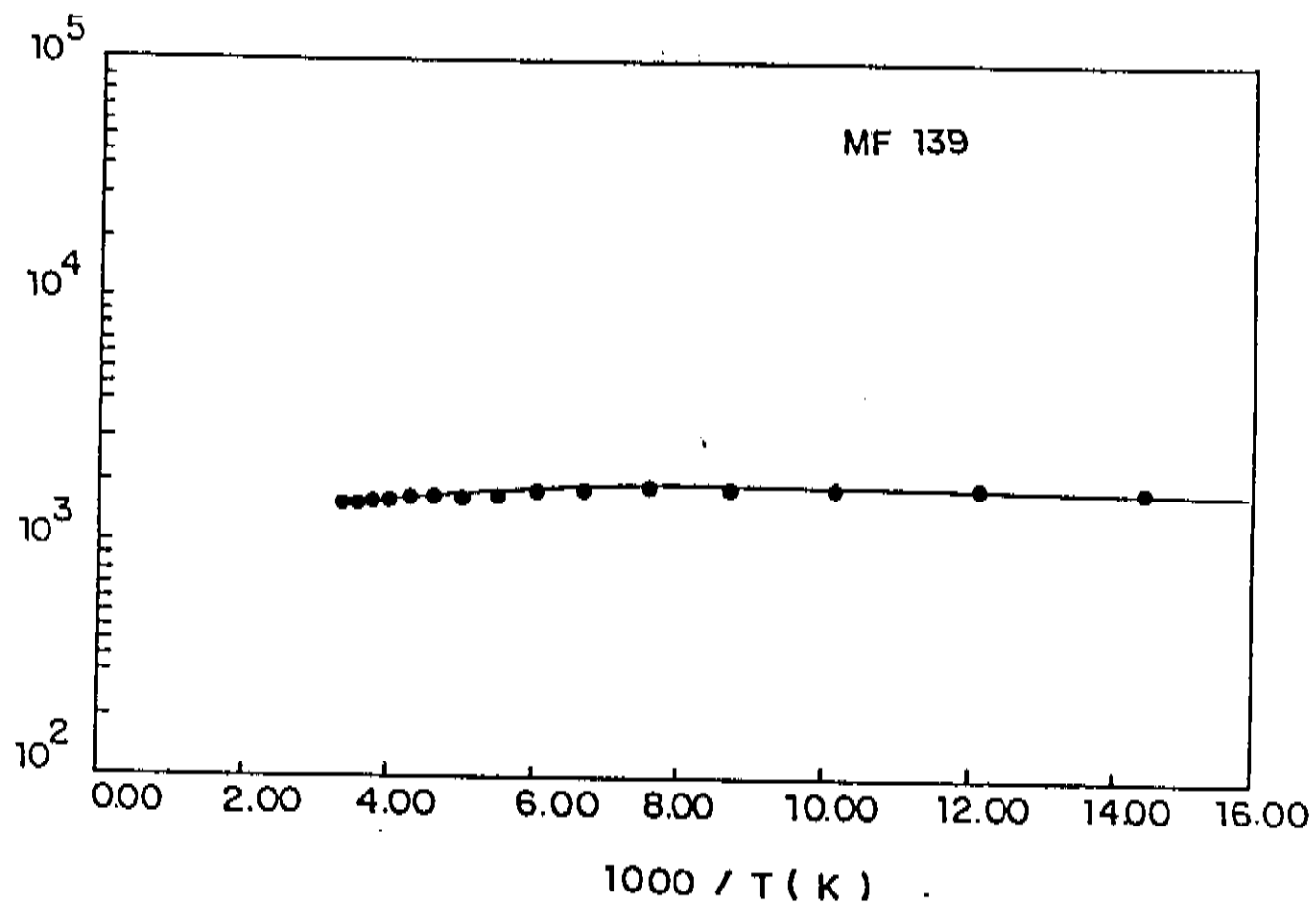


FIG. IV-6

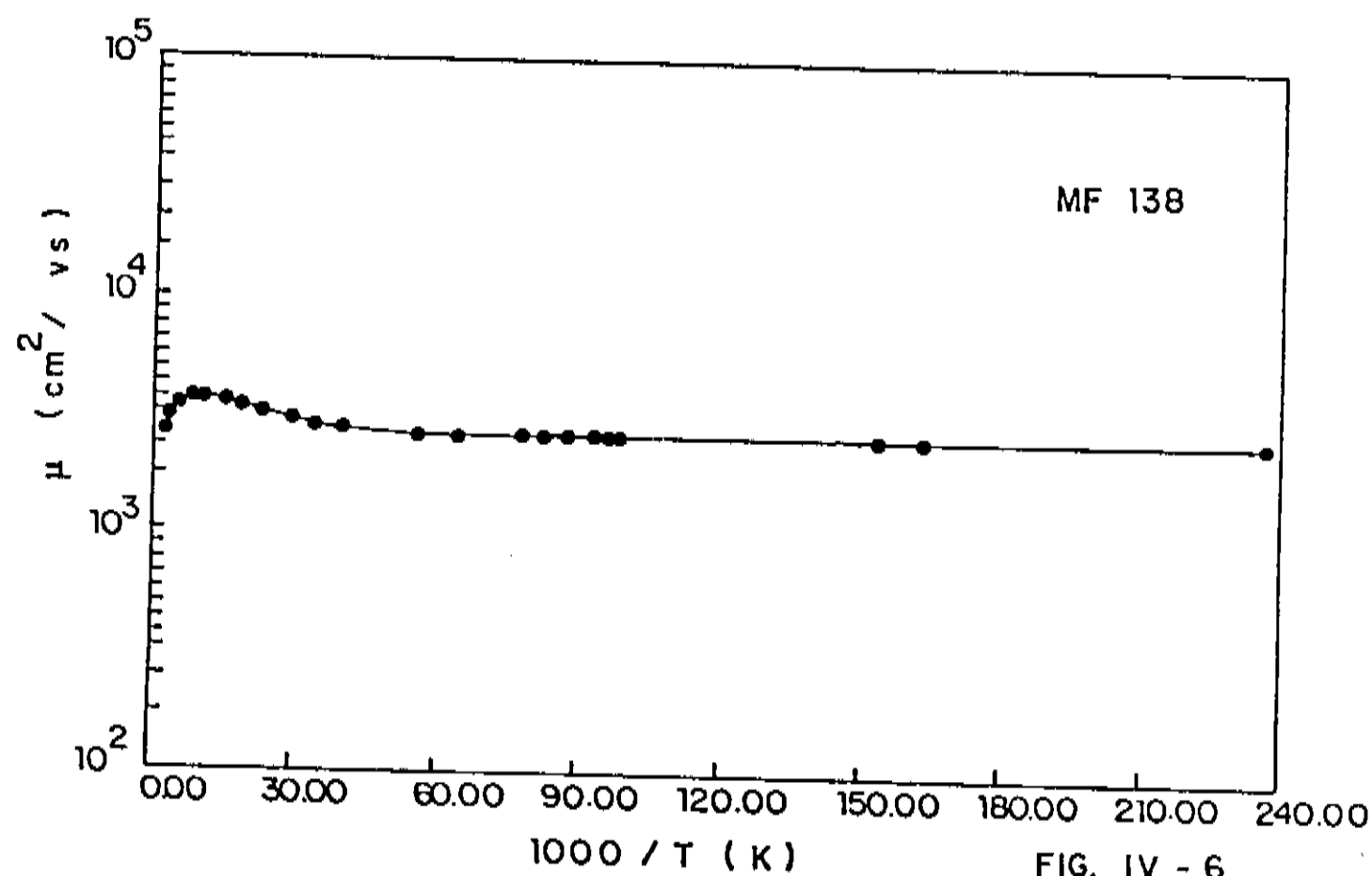
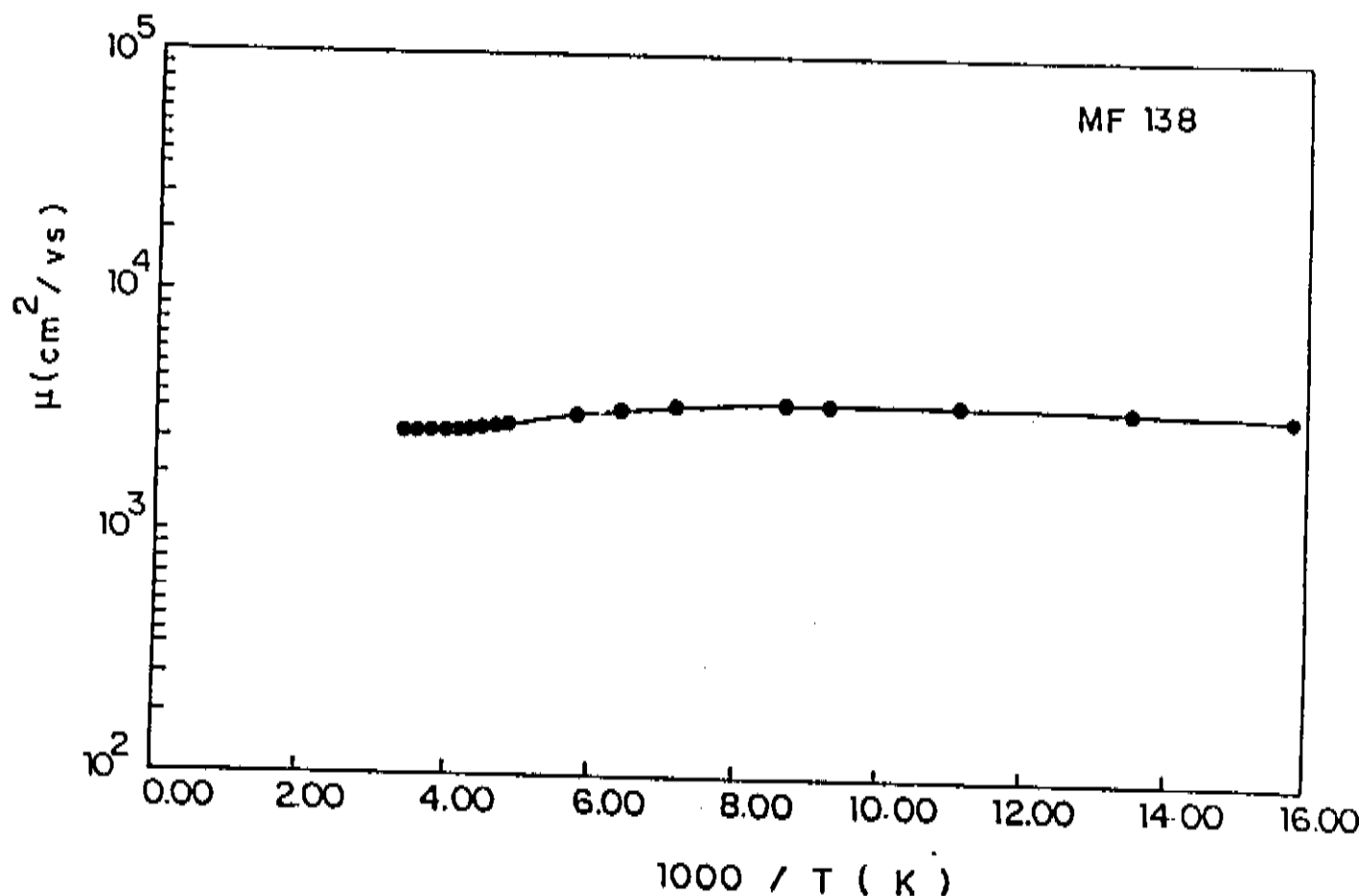


FIG. IV - 6

ração, foi a influência da região de depleção e da interface em camadas tão finas. Chandra e outros<sup>44</sup> demonstraram que, para o GaAs pouco dopado ( $n < 10^{16} \text{ cm}^{-3}$ ), estas influências são muito importantes. Entretanto, como o InGaAsP aqui estudado tem uma banda proibida da ordem de 60% da do GaAs e concentrações maiores que  $10^{16} \text{ cm}^{-3}$ , acreditamos que podemos desprezar estas influências. Corroborando com este raciocínio, temos o resultado de uma experiência feita por Ceolin<sup>45</sup> que verificou a invariância de  $n$ ,  $\rho$  e  $\mu$  com a decapagem da amostra.

No que concerne a precisão dos nossos resultados, podemos dizer que dentre as medidas, a menos precisa é a da espessura da camada. Entretanto, esta espessura não tem nenhuma influência sobre a mobilidade e sua influência sobre  $n$  praticamente não se reflete sobre a posição do nível de Fermi cujo cálculo foi a principal razão da medida de  $n$ . Assim, como as precisões das medidas das tensões, correntes, campo magnético são melhores que 1%, o valor da mobilidade é preciso a menos de 15%. Considerando o desvio padrão das curvas de mobilidade encontrada, o erro relativo de  $\Delta U$  e  $N_i$  é de aproximadamente 10%.

Finalmente, através dos valores de  $\Delta U$  calculados, podemos concluir que a interpretação que mais se aplica ao significado de  $\Delta U$  é a da diferença entre as larguras das bandas proibidas cujo valor teórico esperado é de 0,52eV conforme calculado na secção II.6.4 .

## CAPÍTULO V - CONCLUSÕES

Mostramos que para nossas amostras o nível de Fermi, mesmo para concentrações da ordem de  $10^{16} \text{ cm}^{-3}$ , encontra-se na banda de condução à baixa temperatura. Assim, ao contrário do que se tem feito em geral, é importante levar em consideração a estatística usada. Normalmente usa-se a estatística de Boltzmann que, como visto no decorrer deste trabalho, não é conveniente para este tipo de material. Por isto, utilizamos a estatística de Fermi - Dirac.

Outro fato a ser levantado, é a respeito da importância da mobilidade limitada pelo espalhamento por desordem no potencial da rede à baixa temperatura. Vimos que, apesar da mobilidade limitada por impurezas ionizadas ser dominante, nessa região, a influência da mobilidade limitada pelo espalhamento por desordem no potencial da rede não pode ser desprezada, o que não é considerado nas referências consultadas.

Levando em consideração estes fatores, os valores de  $\Delta U$  por nós encontrados estão concentrados entre 0,52 e 0,62 eV. Se considerarmos o valor de 0,57 eV (valor médio) como o valor mais provável de  $\Delta U$ , todos os outros valores de  $\Delta U$  estarão dentro da faixa de 10% de erro o que indica uma boa precisão para este tipo de análise. Queremos ainda chamar a atenção para o fato do valor experimental de  $\Delta U$  estar próximo do valor teórico, calculado em II.6.4, para o caso de  $\Delta U$  ser originário da diferença entre as bandas proibidas ( $\Delta U_{EG} = 0,52 \text{ eV}$ ).

## APÊNDICE I - INTEGRAL

```

C **** * ***** * * * * * * * * * * * * * * * * * * * * * * * * * * * * * *
C      FUNCTION F00(FK,T,F1)
C      FK=SQRT(FK)/(EXP(FK-T)+1.)
C      F1=9.2513E19*SQRT(FK)/(1+EXP((X-F1)/(0.861735E-4*T)))
C      RETURN
C      END
C **** * ***** * * * * * * * * * * * * * * * * * * * * * * * * * * * * *
C **** * INTEGRACAO = R E G R A DE S IMPSON
C DATA XMIN/0.0/
C TYPE 1
C FN=F00(X,TEMPERATURA,T)
C ACCEPT *,T
C TYPE 2
C FOR I=1 TO FK
C ACCEPT *,F1
C T1=F1/(0.617E-2*T)
C IF(T1,LE,0.)EMAX=B6.+T
C IF(T1,GE,0.)EMAX=B6.-T
C TYPE 4,EVALUAR MAXIMO CALCULADO IT,EMAX
C TYPE 21
C FOR I=1 TO XMAX-MAXIMO
C ACCEPT *,XMAX
C TYPE 3
C FOR I=1 TO ERRO_RELATIVO
C ACCEPT *,ERI
C IFLAG=0
C DELTA=(XMAX-XMIN)/2.
C IT=INT((XMAX-XMIN)/DELTA)+1
C TYPE 6,EPT
C FN=AT(X,T4,I,PIVOS EM CALCULO IT,/)
C IF(I,LT,0,EPT=1)
C TYPE 7,I+1
C FOR I=1 TO T25,T4
C X=X+(I-1)*DELTA
C IF(I,EN,0)THEN
C SUMA=FUN(X,T,F1)
C ELSE TECI,FN,CMP1=1)THEN
C SUMA=SUMA+FUN(X,T,F1)
C ELSE IF(FLNAT(I/2,E0,INT(I/2))THEN
C SUMA=SUMA+2*FUN(X,T,F1)
C ELSE
C SUMA=SUMA+4*FUN(X,T,F1)
C END IF
C END DO
C SUMA1=SUMA+DELTA/3.
C TYPE 4,ISUMA1,I,SUMA1
C IF(IFLAG,EN,0)GO TO 10
C FK2=ARR(SUMA1-SUMA2)/SUMA2
C IF(CR2,LT,FR1)GO TO 20
C SUMA2=SUMA1
C DELTA=DELTA/2.
C IFLAG=1
C GO TO 30
C PES=SUMA1*7.4159653E13*T**1.5
C TYPE 5,RES
C FN=AT(I,INTEGRAL,I,2PE15,6)
C STOP (ITER=100)
C END

```

```

SUBROUTINE PTLOG(X,Y,NPT,EIXOY,NEIX,TIT,NTIT,CAMP)
DIMENSION X(100),Y(100),XX(102),YY(102),XINC(2),YL(2)
CHARACTER*(*) EIXOY,TIT
DATA COMP,XINC,YL/B.,3H,,2.,0.,6.B/
CALL PLOT(14.5,13.,4H)
CALL SYMBOL(1.,12.5,.2,TIT,0.,20)
CALL SYMBOL(4.75,12.5,.15,'I B (KG) 1W1,0.,10)
CALL NUMBER(7.,12.5,.15,CAMP,0.,2)
CALL PLOT(0.,0.,3)
MIN=INT(LOG10(Y(1)))
MAX=MJN
DO I=1,NPT
  XX(I)=1000.*X(I)
  YY(I)=LOG10(Y(I))
  WRITE(1W,*) YY(I),YY(I),X(I),XX(I)
  IF(YY(I).LT.MIN)MIN=INT(YY(I))
  IF((YY(I).LT.MIN).AND.(YY(I).LE.0))MIN=INT(YY(I))-1
  IF((YY(I).GT.MAX).AND.(YY(I).LE.0))MAX=INT(YY(I))
  IF(YY(I).GT.MAX)MAX=INT(YY(I))+1
END DO
TYPE *,!PINTENCIA GRAFICA MINIMA #!,MIN,! MAXIMA #!,MAX
TYPE *,!DE "MINIMO" E "MAXIMO"!
ACCEPT *,MIN,MAX
NP=NPT
DO 10 J=1,2
IF(I.EQ.1)GO TO 20
NP=0
DO 30 J=1,NPT
IF(XX(J).GT.16)GO TO 31
NP=NP+1
IF(NP.GT.100)STOP !ESTOUROU DIM NA SUBROTINA!
XX(NP)=XX(J)
YY(NP)=YY(I)
CONTINUE
XX(NP+1)=0.0
XX(NP+2)=XINC(I)
YY(NP+1)=FLOAT(MIN)
YY(NP+2)=FLOAT(MAX-MIN)/COMP
CALL PLOT(.5,YL(I)+.5,-3)
CALL RECT(0.,0.,COMP,B.,0.,2)
CALL AXIS(0.,0.,'1000/T(K)',*9,8.,0.,0.,XINC(I))
YP=(1./YY(NP+2))
DO 100 J=MJN,MAX
YP=YP+(1./YY(NP+2))
CALL SYMBOL(-.22,YP,1,10!,0.,2)
YP2=YP+.15
CALL NUMBER(-.12,YP2,.06,FLOAT(J),0.,-1)
IF(J.EQ.MAX)GO TO 100
DO 100 K=2,1
YP3=YP+(1./YY(NP+2))*LOG10(FLOAT(K))
CALL PLOT(0.,YP3,3)
XP=LOG(FLOAT(K))/20.
CALL PLOT(XP,YP3,2)
CALL PLOT(B.,YP3,3)
CALL PLOT(B.+XP,YP3,2)
CONTINUE
YP=COMP/2.-0.5
CALL SYMBOL(-.3,YP,.2,EIXOY,90.,NEIX)
CALL LINE(XX,YY,NP,1.-1,43)
CALL PLOT(-.5,YL(I)-.5,-3)

```

30  
20

100

14

```
CALL PLOT(0.,0.,999)
5      WRITE(4N,5)
110     FORMAT(1H1)
      TYPE *,***** SAINDO DA SUBROTTINA PTLOG.!
      RETURN
      END
      FUNCTION TEMP(T0)
      IF(T0.LT.-221.46)STOP !**** TEMP,ABAIXO DO INTERVALO.!
      IF(T0.LE.-237.87)TEMP=-4.4363193*T0-978.26732
      IF(T0.GT.-237.87)TEMP=-4.10111162*T0-898.58636
      IF(T0.GT.-292.25)STOP !**** TEMP,ACIMA DO INTERVALO.!
      RETURN
      END
      REAL ICOR,NM1(100),L02
      DIMENSION B(300),VH(300),VR1(300),VR2(300),T(300),
      LRD(100),TRD(100),RH(100),TRH(100),TM1(100)
      CHARACTER DADOS*12,AMOSTRA*60
      DATA I,NRH,NRD,NMI,L02/1,3*0,,69314718/
      TYPE 1
      FORMAT('QUAL ARQUIVO DE DADOS? ')
      ACCEPT 2,DADOS
      FORMAT(A12)
      OPEN(UNIT=5,NAME=DADOS,TYPE='OLD')
      READ(5,3)AMOSTRA
      FORMAT(A20)
      WRITE(1H,4)AMOSTRA
      FORMAT(/,X,'AMOSTRA = ',A20)
      READ(5,*)ICOR,D,POTV,NMUD
      WRITE(1H,5)ICOR,D,POTV
      FORMAT(/,X,'CORRENTE = ',E11.3,2X,', V = ',E11.3,2X,
      1'POTENCIA DE V = ',E11.3,/)
      READ(5,*,END=200,ERR=299)B(I),VH(I),VR1(I),VR2(I),T(I)
      WRITE(1H,6)I,B(I),VH(I),VR1(I),VR2(I),T(I)
      FORMAT(X,I3,5(X,F10.3,))
      VH(I)=VH(I)*POTV
      VR1(I)=VR1(I)*POTV
      VR2(I)=VR2(I)*POTV
      I=I+1
      IF(I.GT.300)STOP 'FURA DO LIMITE DO DIM. EXECUCAO INTERROMPIDA.'
      GO TO 201
299     TYPE 6,I,B(I),VH(I),VR1(I),VR2(I),T(I)
      STOP 'ERRO NA LINHA DE DADOS ACIMA'
      NDADE=I-1
      TYPE 15
      FORMAT('SELECIONE CAMPO B ')
      ACCEPT 4,NSEL
      TYPE 16
      FORMAT(X,'LINHA DE DADOS EM CALCULO',/)
      DO 100 I=1,NDADE
      TYPE 16,I
      FORMAT(1+I,T3M,T3)
      IF(I.EQ.NMUD)THEN
      TYPE 7
      FORMAT('NOVA CORRENTE ')
      ACCEPT 5,ICOR
      WRITE(1H,6)ICOR
      FORMAT(/,X,'MUDANDO CORRENTE P/ ',E15.5)
      END IF
      IF(B(I).EQ.0.)THEN
      NRD=NRD+1
```

```

IF(NRD.GT.1)NSTOP !FORA DO DIM PARA RD, INTERROMPIDO.!
R1=VR1(1)/ICUR
R2=VR2(1)/TCUR
R1R2=((R1+R2)/(R1+R2))*2.
F=1.,=R1R2*L02/2.=R1R2**2.*((L02**2./4.=L02**3./12.))
RD(NRD)=2.26618143g=4*D*(R1+R2)*F
TRO(NRD)=TEMP(T(1))
GO TO 100
END IF
IF(B(I).EQ.BSEL)THEN
IF(B(I+1).EQ.(-1.*BSEL))THEN
NRH=NRH+1
IF(NRH.GT.1)NSTOP !FORA DO DIM PARA RH, INTERROMPIDO.!
RH(NRH)=1.0*ABS((VH(I)+VH(I+1))/D/(2.*ICUR*ABS(H(I))))*
T0*(T(I)+T(I+1))/2.
TRH(NRH)=TEMP(T0)
GO TO 100
END IF
17 WRITE(10,17)I+1
FORMAT(X,'!FALTA DADO DE CAMPO NEGATIVO NA LINHA ',I3)
TYPE 17,I+1
STOP !CALCULO INTERROMPIDO.!
END IF
180 CONTINUE
9 WRITE(10,9)BSEL
FORMAT(/,T19,'!CAMPO SELECIONADO B(KG)=1,F6.3,,T3,TRH(CM3/C)',/
1T18,ILN(RH)),T36,IT(K)),T49,1000/T(K),/)
CALL PTLOG(TRH,RH,NRH,TRH(CM3/C),9,AMOSTRA,20,BSEL)
WRITE(10,12)
FORMAT(/,T3,'RD(CMH.CM)',T20,ILN(RD)),T36,IT(K),T49,1000/T(K),/)
CALL PTLOG(RD,RD,NRD,RD(CMH.CM),10,AMOSTRA,20,BSEL)
DO 20 I=1,NRH
DO 20 J=1,NRD
IF(Abs(TRH(I)-TRO(J)).GT.1.0)GO TO 20
NM1=NMT+1
MI(NM1)=RH(I)/RD(J)
TM1(NM1)=(TRH(I)+TRO(J))/2.
CONTINUE
20 WRITE(10,20)
FORMAT(/,T3,'MI(CM2/VS)',T20,ILN(MI)),T36,IT(K),T49,1000/T(K),/)
CALL PTLOG(MI,MI,NMT,MI(CM2/VS),10,AMOSTRA,20,BSEL)
CLOSE(UNIT=5)
TYPE 23
23 FORMAT('!NOME DO ARQUIVO DE SAIDA DO MI !')
ACCEPT 2,DADOS
IF(DADOS.EQ.1) GO TO 21
OPEN(UNIT=5,NAME=DADOS,TYPE='NEW')
WRITE(5,* )NMI
DO 30 I=1,NMI
WRITE(5,* )TM1(I),MT(I)
CLOSE(UNIT=5)
STOP !GRAFTCO EXECUTADO!
END

```

## APÉNDICE III - FINAL

```

***** SUBROUTINE GRAFT(INTC,IFIM,MIN,MAX,NOME,DELTU,EST)
COMMON /BL2/NPT(2),TEMP(2,691),YMI(7,691)
DIMENSION XINC(2),TCAR(7),XFLOT(693),YP,UT(693)
CHARACTER NOME*12,TIPO(7)*23
DATA COMP,XINC/1/,3M,,2,/
IF(INTC.EQ.1)COMP=COMP/2.
DATA TCAR/43,18,35,19,4,11,3/
TIPO(1)*!=> EXPERIMENTAL!
TIPO(2)*!=> TEORICO!
TIPO(3)*!=> FONONS ACUSTICOS!
TIPO(4)*!=> IMPUREZAS IONIZADAS!
TIPO(5)*!=> IMPUREZAS NEUTRAS!
TIPO(6)*!=> FONONS OTICOS!
TIPO(7)*!=> ALLOY!
YMIN=FLOAT(MIN)
YMAX=FLOAT(MAX)
YESC=(YMAX-YMIN)/COMP
DO 10 I=1,2
CALL PLOTS(1%,5,13,,4)
CALL SYMBOL(2.,12.5,,28,!MOBILIDADES!,0,,11)
CALL SYMBOL(5.,12.5,,15,!AMOSTRA =>!,0,,11)
CALL SYMBOL(8.,12.5,,15,NOME,0,,12)
IF(EST.NE.0,)CALL SYMBOL(8.,8.,12.,15,!DEGENERACAO!,0,,10)
CALL SYMBOL(5.,11.5,,12,!DELTA U !=!,0,,9)
CALL NUMBER(6.,35,11.5,,1,DELTU,0,,4)
YP=12.
DO 20 J=INTC,IFIM
CALL SYMBOL(2.,YP,,1,CHAR(ICAR(J)),0,,1)
CALL SYMBOL(2.,YP,,1,TIPO(J),0,,24)
YP=YP+.15
CALL PLUT(.5,.5,-3)
CALL RECT(4.,4.,COMP,8.,0,,2)
CALL AXIS(4.,8.,!1MM/T(K)!,-9,8.,0.,0.,XINC(1))
YP=-(1./YESC)
DO 30 J=MTH,MAX
YP=YP+(1./YESC)
CALL SYMBOL(-.22,YP,,1,10!,0,,2)
YP2=YP+.15
CALL NUMBER(-.1,YP2,.065,FLOAT(J),0,,1)
IF(J.EQ.MAX)DO 10 30
DO 30 K=2,10
YP3=YP+(1./YESC)+LOG10(FLOAT(K))
CALL PLUT(4.,YP3,4)
XP=LOG10(FLOAT(K))/20.
CALL PLUT(XP,YP3,2)
CALL PLUT(8.,YP3,3)
CALL PLUT(8.,XP,YP3,2)
CONTINUE
YP=COMP/2.-1.0
CALL SYMBOL(-.3,YP,,2,!MT (CM+2/V,6)!,.9%,14)
DO J=INTC,IFIM
NP=0
NTIP=1
IF(J.GT.1)NTIP=2
DO 40 K=1,NPT(NTIP)
IF((J.EQ.2).AND.(TEMP(NTIP,K).LT.62.5))GO TO 41
NP=NP+1
XFLOT(NP)=1000.*TEMP(NTIP,K)
YFLOT(NP)=LOG10(YMI(J,K))

```

40

```

TE(YPLOT(NP),LT,YMIN)YPLOT(NP)=YMIN
TE(YPLOT(NP),GT,YMAX)YPLOT(NP)=YMAX
CONTINUE
YPL0T(NP+1)=0.0
XPL0T(NP+2)=XINC(1)
YPL0T(NP+1)=YMIN
YPL0T(NP+2)=YESC
IF(J.EQ.1)CALL LINE(XPLOT,YPLOT,NP,1,-1,ICAR(J))
IF(J.GT.1)CALL LINE(XPLOT,YPLOT,NP,1,50,ICAR(J))
END DO

```

```

CALL PLOT(9,,4,,999)
IF(1.EQ.1)WRITE(40,1)
FORMAT(1H1)
TYPE *,***** SAIU GRAFICO!
CONTINUE
RETURN
END

```

C \*\*\*\* \*

```

REAL NETA,NI,NN
DIMENSION COEF(54),COEP(60)
COMMON /BL2/NPT(2),TEMP(2,601),YMI(2,601)
CHARACTER P*1,NAME*15,ARQUI*14
PARAMETER /DADOS/NAME,R0,UL,E1,N1,NETA
DATA TMIN,TMAX,IFATE/4.2,304.2,0/
TYPE 1

```

```

FORMAT(1SARGUMENTO DE PARAMETROS DA AMOSTRA 1)
ACCEPT 2,ARQUI
FORMAT(A14)
```

```

OPEN(UNIT=1,FILE=ARQUI,STATUS='OLD')
READ(1,DADOS)
CLOSE(UNIT=1)

```

```

NETA=NI
```

```

TYPE 3
```

```

FORMAT(1SDE 0 DELTA 0 1)
ACCEPT 3,DELTA
```

```

TYPE 4
```

```

FORMAT(1SARGUMENTO DA MOBILIDADE EXPERIMENTAL 1)
```

```

ACCEPT 2,AROUT
```

```

OPEN(UNIT=1,FILE=ARQUI,STATUS='OLD')
```

```

READ(1,* )NPT(1)
```

```

DO 10 I=1,NPT(1)
```

```

READ(1,* )TEMP(I,1),YMI(1,I)
```

```

CLOSE(UNIT=1)
```

```

TYPE 7
```

```

FORMAT(1$CONSTANTE DE DEGENERESCENCIA 1)
```

```

ACCEPT 4,EST
```

```

IF(LERT,NE,0.)THEN
```

```

OPEN(UNIT=1,FILE='FOR002.DAT',STATUS='OLD')
```

```

READ(1,5)COEF
```

```

FORMAT(5X,12)
```

```

IF(COEF.GT.50)STOP 'POLINOMIO INTERPOLADOR DE ORDEM >5.'
DO 20 I=1,NCDEF
```

```

READ(1,6)COEF(I)
```

```

FORMAT(5X,E20.10)
```

```

CLOSE(UNIT=1)
```

```

OPEN(UNIT=1,FILE='FOR003.DAT',STATUS='OLD')
```

```

READ(1,5)COEF
```

```

IF(COEF.GT.50)STOP 'POLINOMIO INTERPOLADOR DE ORDEM >5.'
```

```

DO 20 I=1,NCDEF
```

```

READ(1,6)COEF(I)
```

```
8 CLOSE(UNIT=1)
9 END IF
TYPE 9
FORMAT(X,1P0TENDA DE 10 MINIMA E MAX P/GRAFICOS)
ACCEPT *,LTN,MAX
TYPE 9
FORMAT(1$NÚMERO DE PONTOS (MAX,601);1)
ACCEPT *,NP(2)
IF (NP(2).GT.500)GOTO 30
TMIN=(314,2*4,2)/FLOAT(NP(2)+1)
DO 40 I=1,NP(2)
1=4,2+(I+1)*TINC
TEMP(2,I)=1
YH(3,I)=4,49917481E+2*RN*(DL**2,0)/((E1**2,0)*(T**1,5))
IF (EST.EQ.P,)THEN
A=9,B=9814F13*(T**2,0)/NETA
YH(4,I)=2,43315166E18*T**1,5*(LOG(1+A)-A/(1+A))/N1
ELSE
TCAP=((T-TMIN)*(TMAX-T))/((TMAX-TMIN))
IF ((TCAP.GT.1,0),OR,(TCAP.LT.-1,0))TYPE *,,
11T FORA DO PELIN. INTERPOLADOR
CALL FV2AFF(NGOFF,CUFF,TCAP,A,IAIL)
YH(4,I)=A
END IF
YH(5,I)=(1,358639E29/NN)*1,E2+
IF (T.GT.6,1GO TO 50
YH(6,I)=1,E36
GO TO 60
A=44E,1
IF (A.LE.1,10#1,
IF (A.GE.1,10#3,*SQR(T3,141592*A)/8,
YH(6,I)=283,8144434*(EXP(A)=1,)*SQR(T)*6
IF (EST.EQ.P,)THEN
YH(7,I)=6,-014997E4/((DELTU**2,0)*SQR(T))
ELSE
TCAP*((T-TMIN)*(TMAX+1))/((TMAX-TMIN))
IF ((TCAP.GT.1,0),OR,(TCAP.LT.-1,0))TYPE *,,
11T FORA DO PELIN. INTERPOLADOR
CALL FV2AFF(NGOFF,CUFF,TCAP,A,IAIL)
YH(7,I)=A
END IF,
SOMA=0
DO 70 J=3,7
SOMA=SOMA+1,/YH(J,T)
YH(2,T)=1,/SOMA
TYPE 13,T,(YH(J,I),J=2,7)
FORMAT(X,F6,2,B(1PE9,2))
CALL GRAF(2,7,GIN,MAX,NOME,DELTU,EST)
TYPE 11
FOR A1(1$NÚMERO DE EXPERIMENTAL E TEORIA (S/N)? 11)
ACCEPT A1,P
FORMAT(A1)
IF (P.NE.'13')GO TO 80
TYPE 8
ACCEPT *,LTN,MAX
CALL GRAF(1,2,MIN,MAX,NOME,DELTU,EST)
STOP IFIM DO PROGRAMA!
END
```

```

C **** SUBROUTINE MOBILIC(ITIP,EST,RO,UL,E1,N1,NETA,NN)
      REAL NI,NETA,NN
      COMMON NPT(2),TEMP(2,601),YMI(6,601),DELTU(601),
     1INCDEF,CDEF(5H)
      DATA TMIN,TMAX,IFAIL/4.2,304.2,1/
      DO 10 I=1,NPT(ITIP)
      T=TEMP(ITIP,I)
      YMI(3,I)=4.09017481E-2*RO*(UL**2.)/(E1**2.)*(T**1.5)
      IF(EST.EQ.0.)THEN
      A=9.849814E13*(T**2.)/NETA
      YMI(4,I)=2.43315066E18*(T**1.5)/(N1*(LOG(1+A)-A/(1+A)))
      ELSE
      TCAP=((T-TMIN)*(TMAX-TMIN))/(TMAX-TMIN)
      IF((TCAP.GT.1.0).OR.(TCAP.LT.-1.0))TYPE *,1
      'T FORA DO POLIN. INTERPOLADOR!
      CALL ER2AEP(INCDEF,CDEF,TCAP,A,IFAIL)
      IF(IFAIL.NE.0)TYPE *,1'ERRO NA INTERPOLACAO!
      YMI(4,I)=A
      END IF
      YMI(5,I)=(1.358639E29/NN)*1.E20
      IF(T.LT.6.)THEN
      YMI(6,I)=.95E35
      ELSE
      A=442./T
      IF(A.LT.1.)G=1.
      IF(A.GE.1.)G=3.+SGRT(3.141592*A)/8.
      YMI(6,I)=283.8144434*(EXP(A)-1.)*SGRT(T)*G
      END IF
      IF(ITIP.NE.1)GO TO 10
      YMI(1,I)=1./(1./YMI(1,I)+1./YMI(3,I)+1./YMI(4,I))
      1=1./YMI(5,I)+1./YMI(6,I))
      IF(YMI(2,I).LE.0.)THEN
      WRITE(10,1)T,YMI(2,I)
      TYPE 1,T,YMI(2,I)
      FORMAT(X,1**** MI NEGATIVO CUIDADO **** 1,F13.8,1PE15.6)
      YMI(2,I)=.95E35
      END IF
      DELTUI=SGRT(6.0140907E4/(YMI(2,I)*SGRT(T)))
      CONTINUE
      RETURN
      END

C **** SUBROUTINE EXTRE(INIC,ITIP,MIN,MAX)
      COMMON NPT(2),TEMP(2,601),YMI(6,601),DELTU(601),
     1INCDEF,CDEF(5H)
      I1=1
      IF(ITIP.EQ.2)I1=3
      DO 10 I=I1,6
      DO 20 J=1,NPT(ITIP)
      YL=LOG10(YMI(I,J))
      IF(INIC.EQ.2)GO TO 30
      INIC=2
      MIN=INT(YL)
      MAX=MIN
      GO TO 20
      IF(YL.LT.MIN)MIN=INT(YL)
      IF((YL.LT.MIN).AND.((YL.LE.0.)))MIN=INT(YL)+1
      IF((YL.GT.MAX).AND.((YL.LE.0.)))MAX=INT(YL)
      IF(YL.GT.MAX)MAX=INT(YL)+1
      END
  
```

```

20  CONTINUE
10   TYPE *,TMINIMOD,TMIN,T MAXIMOD,TMAX
CONTINUE
RETURN
END
C ****+*****+*****+*****+*****+*****+*****+*****+*****+*****+*****+*****
REAL NETA,NI,NN
COMMON /PT/(4),TEMP(2,601),YMI(6,601),DELTU(601),
NCDEF,CDEF(5)
DIMENSION XINC(2),TCAR(6),XPLOT(603),YPLOT(603)
CHARACTER NOME*12,ARQUI1*14,ARQUI2*14,TIPO(6)*25
NAMELIST /DADOS/NOME,RO,UL,E1,NI,NETA
DATA INIC,COMP,XINC/1,11,130,,2,/
DATA TMIN,TMAX/4.2,384.2/
DATA TCAR/43,42,35,19,4,11/
TIPO(1)*!>> EXPERIMENTAL!
TIPO(2)*!>> ALLOY!
TIPO(3)*!>> FONONS ACUSTICOS!
TIPO(4)*!>> IMPUREZAS IONIZADAS!
TIPO(5)*!>> IMPUREZAS NEUTRAS!
TIPO(6)*!>> FONONS OTICOS!
TYPE 1
FORMAT(1$ARQUIVO DE PARAMETROS DA AMOSTRA !)
ACCEPT 2,ARQUI1
FORMAT(A14)
OPEN(UNIT=1,FILE=ARQUI1,STATUS=OLD)
READ(1,DADOS)
CLOSE(UNIT=1)
WRITE(1W,DADOS)
NN=NETA=NI
TYPE 3
FORMAT(1$ARQUIVO DA MOBILIDADE EXPERIMENTAL !)
ACCEPT 2,ARQUI2
OPEN(UNIT=1,FILE=ARQUI2,STATUS=OLD)
READ(1,*)
DO 10 I=1,NPT(1)
READ(1,*)
TEMP(1,I)=TEMP(1,I)+YMI(1,I)
IF(I.EQ.1)DEL=TMIN-TEMP(1,I)
TEMP(1,I)=TEMP(1,I)+DEL
CLOSE(UNIT=1)
TYPE 0
FORMAT(1$CONSTANTE DE ESTADO !)
ACCEPT *,EST
IF(CEST.NE.0)THEN
OPEN(UNIT=1,FILE=IPOROU2,DAI!,STATUS=OLD)
READ(1,11)NCDEF
FORMAT(5x,I2)
IF(NCDEF.GT.50)STOP !POLINOMIO INTERPOLADOR DE URDEM >50!
DO 80 I=1,NCDEF
READ(1,12)CDEF(I)
FORMAT(5x,F20.1)
CLOSE(UNIT=1)
END IF
CALL MOBLIC(1,EST,RO,UL,E1,NI,NETA,NN)
CALL EXTRE(INIC,,MIN,MAX)
WRITE(1W,4)
FORMAT(X,T5,1TEMPERATURAI,T19,1EXPERIMENTAL!,T32,
1'ALLOY!',T50,'ACUSTICOS!',T65,'IONIZADOS!',T81,
1'NEUTRAS!',*97,'OTICOS!',T111,'DELTA U!',//)
DO 20 I=1,NPT(1)

```

```

20
30
40
50
60
70
80
90
100
110
120
130
140
150
160
170
180
190
200
210
220
230
240
250
260
270
280
290
300
310
320
330
340
350
360
370
380
390
400
410
420
430
440
450
460
470
480
490
500
510
520
530
540
550
560
570
580
590
600
610
620
630
640
650
660
670
680
690
700
710
720
730
740
750
760
770
780
790
800
810
820
830
840
850
860
870
880
890
900
910
920
930
940
950
960
970
980

```

WRITER(1W,5)TEMP(1,1),(YMT(J,1),J=1,6),DELTU(1)
FORMAT(X,F13.6,7(1PE15.5))
TYPE 6
FORMAT('NUMERO DE PONTOS (MAXIMO DE 601) :')
ACCEPT NPT(2)
IF(NPT(2).GT.601)GOTO 30
TINC=(THAX-TMIN)/FLOAT(NPT(2)+1)
DO 40 I=1,NPT(2)
TEMP(2,I)=4.2\*(I-1)\*TINC
CALL MOBILIT(2,EST,RD,UL,E1,NI,NETA,NN)
CALL EXTE(4NTC,2,MIN,MAX)
DO I=1,2
CALL PLOTS(1W,5,13,,40)
CALL SYMBOL(2.,12.5,.25,IMOBILIDADES!,0.,11)
CALL SYMBOL(5.,12.5,.15,IMOSTRA >:,0.,11)
CALL SYMBOL(6.8,12.5,.15,NOME,0.,12)
IF(EST.NE.0.)CALL SYMBOL(6.8,12.5,.15,DEGENERADAS!,0.,14)
YP=12,
DO I2=1,6
CALL SYMBOL(2.,YP,,1,CHAR(ICAR(I2)),0.,1)
CALL SYMBOL(2.5,YP,,1,TIPO(I2),0.,24)
YP=YP+15
END DO
CALL PLOT(.5,.5,-3)
CALL RECT(0.,0.,COMP,0.,0.,2)
CALL AXIS(0.,0.,1000/1(K)),-9.8,0.,0.,XINC(1))
YESC=FLOAT(MAX-MIN)/COMP
YP=(1./YESC)
DO 100 J=MN,MAX
YP=YP+(1./YESC)
CALL SYMBOL(-.22,YP,,1,10!,0.,2)
YP2=YP+0.15
CALL NUMBER(-.1,YP2,.06,FLOAT(J),0.,-1)
IF(J.EQ.MAX)GO TO 100
DO 100 K=2,10
YP3=YP+(1./YESC)\*LOG10(FLOAT(K))
CALL PLOT(0.,YP3,3)
XP=LOG10(FLOAT(K))/20.
CALL PLOT(XP,YP3,2)
CALL PLOT(0.,YP3,3)
CALL PLOT(0.,XP,YP3,2)
CONTINUE
YP=COMP/2.,N,5
CALL SYMBOL(-.3,YP,,2,IMT ((CM\*\*2/J,S)),-90.,14)
DO J=1,6
NP=N
NTIP=1
IF(J.GT.2)NTIP=2
DO 50 K=1,NPT(NTIP)
IF((I,EQ.2).AND.(TEMP(NTIP,K),LT,62.5))GO TO 50
NP=NP+1
XPLOT(NP)=1000./TEMP(NTIP,K)
YPLOT(NP)=LOG10(YMT(J,K))
CONTINUE
XPLOT(NP+1)=0.,0
XPLOT(NP+2)=XINC(1)
YPLOT(NP+1)=FLOAT(MIN)
YPLOT(NP+2)=YESC
IF(J.LT.3)CALL LINE(XPLOT,YPLOT,NP,1,\*1,ICAR(J))
IF(J.GT.2)CALL LINE(XPLOT,YPLOT,NP,1,50,ICAR(J))

```
8
END DO
CALL PLOT(0.,0.,999)
IF(I.EQ.1)WRITE(4W,8)
FORMAT(1H1)
END DO
STOP !FIM DO PROGRAMA!
END
```

R E F E R E N C I A S

- 1) P. BLOOD and J.W. ORTON; Rep. Prog. Phys., vol.41 (1978).
- 2) E.H. HALL; Amer. J. Math., 2, 287 (1879).
- 3) M. D'OLNE CAMPOS; "Efeito Hall e Condutividade Elétrica".
- 4) J.S. BLAKEMORE; Semiconductor Statistics, Pergamon Press, New York, pg. 117 (1962).
- 5) P. KIREEV; La Physique des Semiconductors, Mir Moscou, Cap. IV (1975).
- 6) M.M.G. DE CARVALHO; Tese de Doutorado, Academic de Montpellier (1982).
- 7) K. MASU, E. TOKUMITSU, M. KONAGAI and K. TAKAHASHI; J. Appl. Phys. 54(10), 5785 (1983).
- 8) M. F. CEOLIN; "Estudo da Mobilidade Eletrônica nos Compostos In Ga As P", Tese de Mestrado, UNICAMP (1983).
- 9) V.I. FISTUL'; Heavily Doped Semiconductors, Plenum Press, pg. 369 (1969).
- 10) K. SEEGER; Semiconductor Physics, Springer-Verlag, Caps. 3 e 5 (1973).
- 11) E. FERMI; Nuclear Physics, Univ. Press, Chicago, pg. 142 (1950).
- 12) E.M. CONWELL and V.F. WEISSKOPF; Phys. Rev. 77, 388 (1950).
- 13) H. BROOKS; Phys. Rev. 83, 879 (1951).
- 14) R.B. DINGLE; Phil. Mag. (7) 46, 831 (1955).
- 15) R. MANSFIELD; Proc. Phys. Soc. (London), B69, 76 (1956).
- 16) A.C. BEER; Solid State Phys. - Supl. 4, Academic Press (1963).

- 17) J.P. MCKELVEY; *Física del Estado Sólido y de Semiconductores*, Editorial Limusa, Cap. 9 (1976).
- 18) J. BARDEEN and W. SHOCKLEY; *Phys. Rev.* 80, 72 (1950).
- 19) J.D. WILEY; *Semiconductors and Semimetals*, vol.10, pg. 127 (1975).
- 20) H. FRÖLICH and N.F. MOTTA; *Proc. Roy. Soc. (London)* A171, 496 (1939).
- 21) H. EHRENREICH; *J. Phys. Chem. Solids* 2, 131 (1954).
- 22) J.W. HARRISON and J.R. HAUSER; *J. Appl. Phys.* 47(1), 292 (1976).
- 23) D.J. HOWARTH and E.H. SONDHEIMER; *Proc. Roy. Soc. (London)* A219, 53 (1953).
- 24) R.A. SMITH; *Semiconductors*, Cambridge University Press, pg. 251 (1978).
- 25) R.L. PETRITZ and W.W. SCANLON; *Phys. Rev.* vol. 97, 1620 (1955).
- 26) P.A. FLINN; *Phys. Rev.* 104(3), 350 (1956).
- 27) L. NORDHEIM; *Ann. Phys. (Leipzig)* 9, 607 (1931).
- 28) N.F. MOTTA; *Proc. Cambridge Philos. Soc.* 32, 281 (1936).
- 29) M.A. LITTLEJOHN, J.R. HAUSER and T.H. GLISSON; *Solid State Elect.* 21, 107 (1978).
- 30) L.J. VAN DER PAUW; *Philips Res. Repts.* 13, 1 (1958).
- 31) M.F. CEOLIN; obra cit. pgs. 38 ~ 41 (1983).
- 32) R.J. NICHOLAS, J.C. PORTAL, C. COULBERT, P. PERRIER and P. PEARSALL; *Appl. Phys. Lett.* 34(8), 492 (1978).
- 33) E.H. PEREA, E. MENDEZ and C.G. FONSTAD; *J. Elect. Mat.* 9, 123 (1976).

- 34) R.E. NAHORY, M.A. POLLACK, W.D. JOHNSTON and R.L. BARNS; Appl. Phys. Lett. 33, 659 (1978).
- 35) M.A. LITTLEJOHN, J.R. HAUSER and T.H. GLISSON; Appl. Phys. Lett. 30 (5), 242 (1977).
- 36) D.L. RODE; Phys. Rev. B, 2, 1012 (1970).
- 37) A.R. ADAMS, H.L. TATHAM, J.R. HAYES, A.N. EL - SABBAHY and P.D. GREENE; Elect. Lett. 16 (14), 560 (1980).
- 38) C. CHARREAU, G. GUILLOT, A. NOUAILHAT, D. HUET, M. LAMBERT; Physica 129 B, 413 (1985).
- 39) S.M. SZE; " Physics of Semiconductor Devices ", John Wiley & Sons, pg. 21 (1969).
- 40) Y. TAKEDA and A. SASAKI; Japan. Journal of Appl. Phys. 24(10), 1307 (1985).
- 41) P.D. GREENE, S.A. WHEELER, A.R. ADAMS, A.N. EL - SABBAHY and C.N. AHMAD; Appl. Phys. Lett. 35(1), 78 (1979).
- 42) R.R. LEHENY, A.A. BALLMAN, J.C. DeWINTER, R.E. NAHORY and M.A. POLLACK; J. of Elect. Mat. 9(3), 561 (1980).
- 43) P.K. BHATTACHARYA, J.W. KU, S.J.T. OWEN, G.H. OLSEN and S.H. CHIAO; I.E.E.E. J. Quantum Elect. QE 17(2), 150 (1981).
- 44) A. CHANDRA, C.E.C. WOOD, D.W. WOODARD and L.F. EASTMAN; Solid State Elect. 22, 645 (1979).
- 45) M.F. CEOLIN; Comunicação Pessoal.
- 46) J.R. HAYES, A.R. ADAMS and P.D. GREENE; Elect. Lett. 16(8), 282 (1980).
- 47) J.W. HARRISON, J.R. HAUSER; Phys. Rev. B 13 (12), 5347 (1976).
- 48) J.C. PHILLIPS; Rev. Mod. Phys. 42, 317 (1970).